

**Grupo de pesquisa:
CFD, propulsão e
aerodinâmica de foguetes**

(CFD/UFPR) – junho/2002

21 Nov 2019

Laboratórios (100 m²):

Lena 1: alunos

Lena 2: professores

Localização:

salas 7-30 e 7-31 do DEMEC/TC

Equipamentos principais:

23 computadores (192 GB, Xeon, 12 núcleos)

1 impressora laser

PESQUISADORES atuais (9)

Do DEMEC/TC/UFPR (2):

Prof. Carlos Henrique Marchi (líder)

Prof. Luciano Kiyoshi Araki

De outras instituições (7):

UFPR e outras = 2 (Geovani e Nicholas)

UTFPR = 2 (Guilherme e Cosmo)

UP = 2 (Diego e Alysson)

UNICENTRO = 1 (Martins)

COLABORAÇÕES

passadas e atuais: 7

ITA

IAE/DCTA

INPE/CP

UTFPR

UP

UEPG

UNICENTRO

ORIENTANDOS atuais no DEMEC/TC/UFPR: 22

IC = 2

TG = 2

M = 9

D = 8

PD = 0

estágio = 1

ORIENTAÇÕES concluídas no DEMEC/TC/UFPR,

2002 →: 101

IC = 27

TG = 35

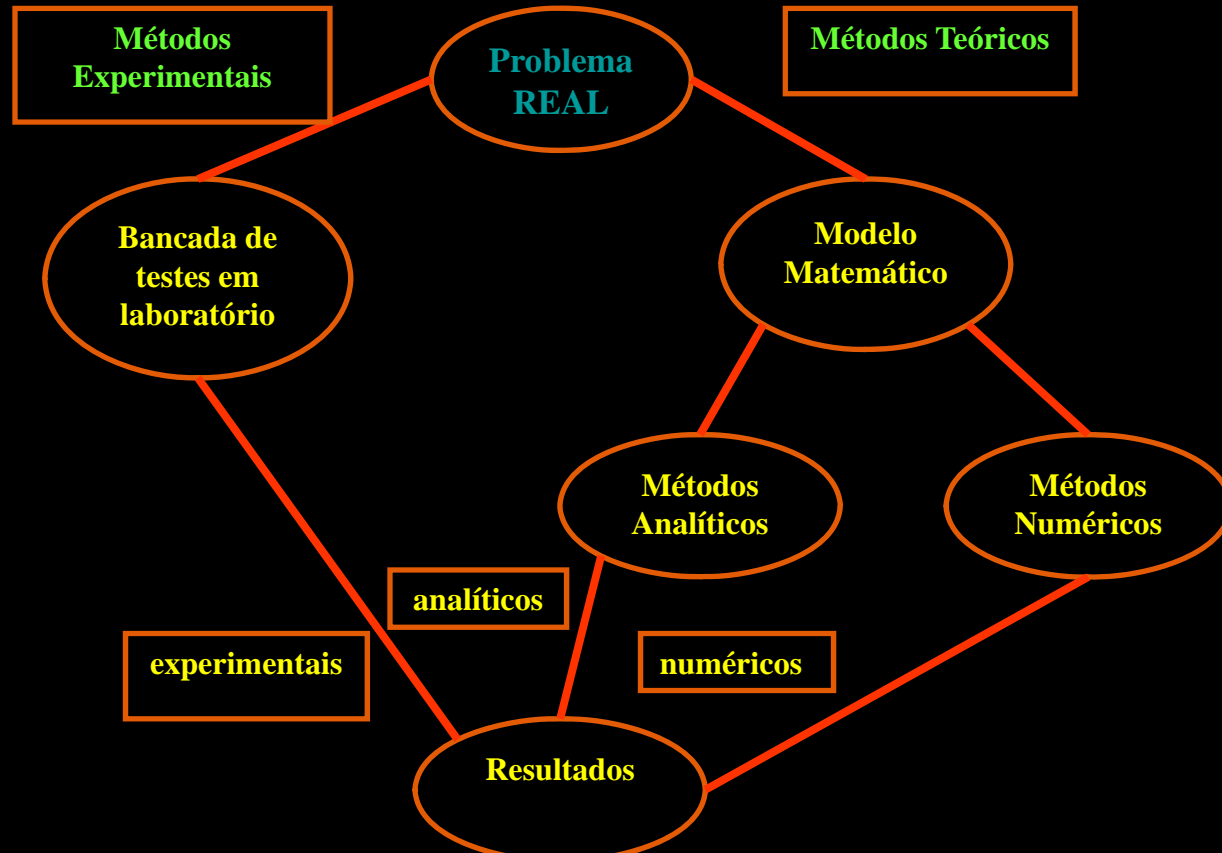
M = 17

D = 21

PD = 1

outros = 0

Métodos usados na engenharia



Linhas de pesquisa

- Propulsão de foguetes
- Aerodinâmica de foguetes
- Otimização de métodos numéricos
- Verificação e validação de soluções numéricas

Modelos matemáticos

Equações (1D/2D/3D/t):

Laplace

Poisson

Fourier

Advecção-difusão

Burgers

Euler

Navier-Stokes

Turbulência

Metodologia

Métodos numéricos:

Diferenças finitas

Volumes Finitos

Ordem das aproximações numéricas: 1, 2, 3 e 4

Tipos de malhas:

Uniformes e não uniformes

Quadradas e triangulares

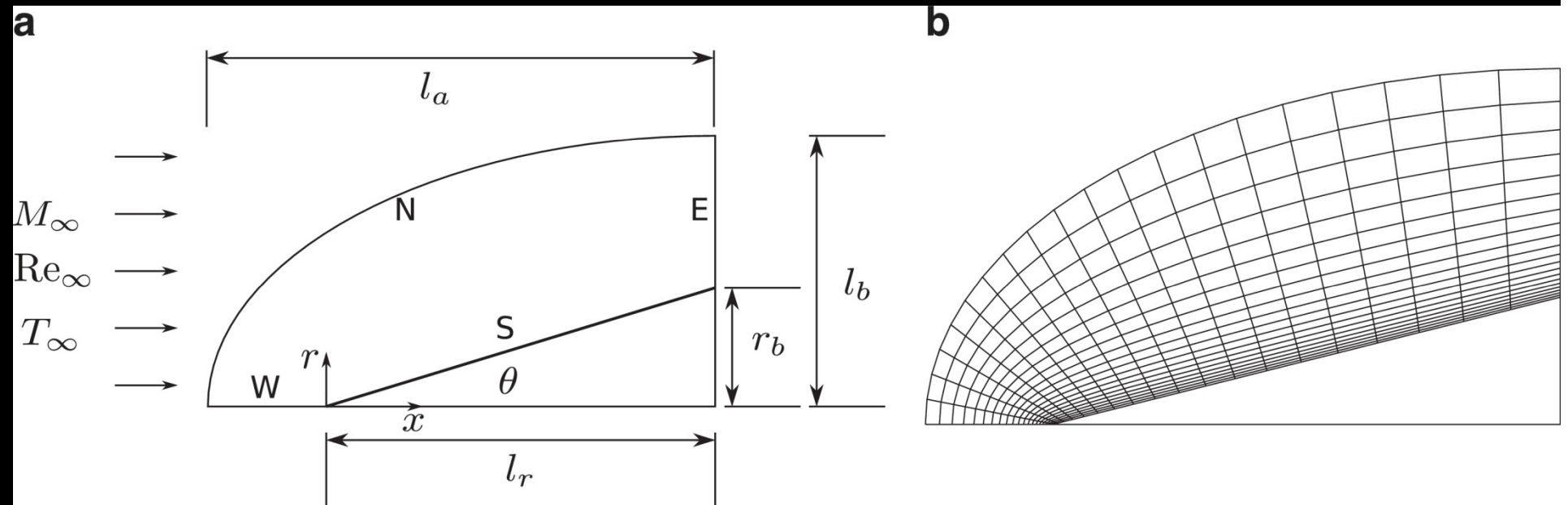
Estruturadas e não estruturadas

Não ortogonais

Solvers: GS, TDMA, PDMA, ADI e MSI com *multigrid*

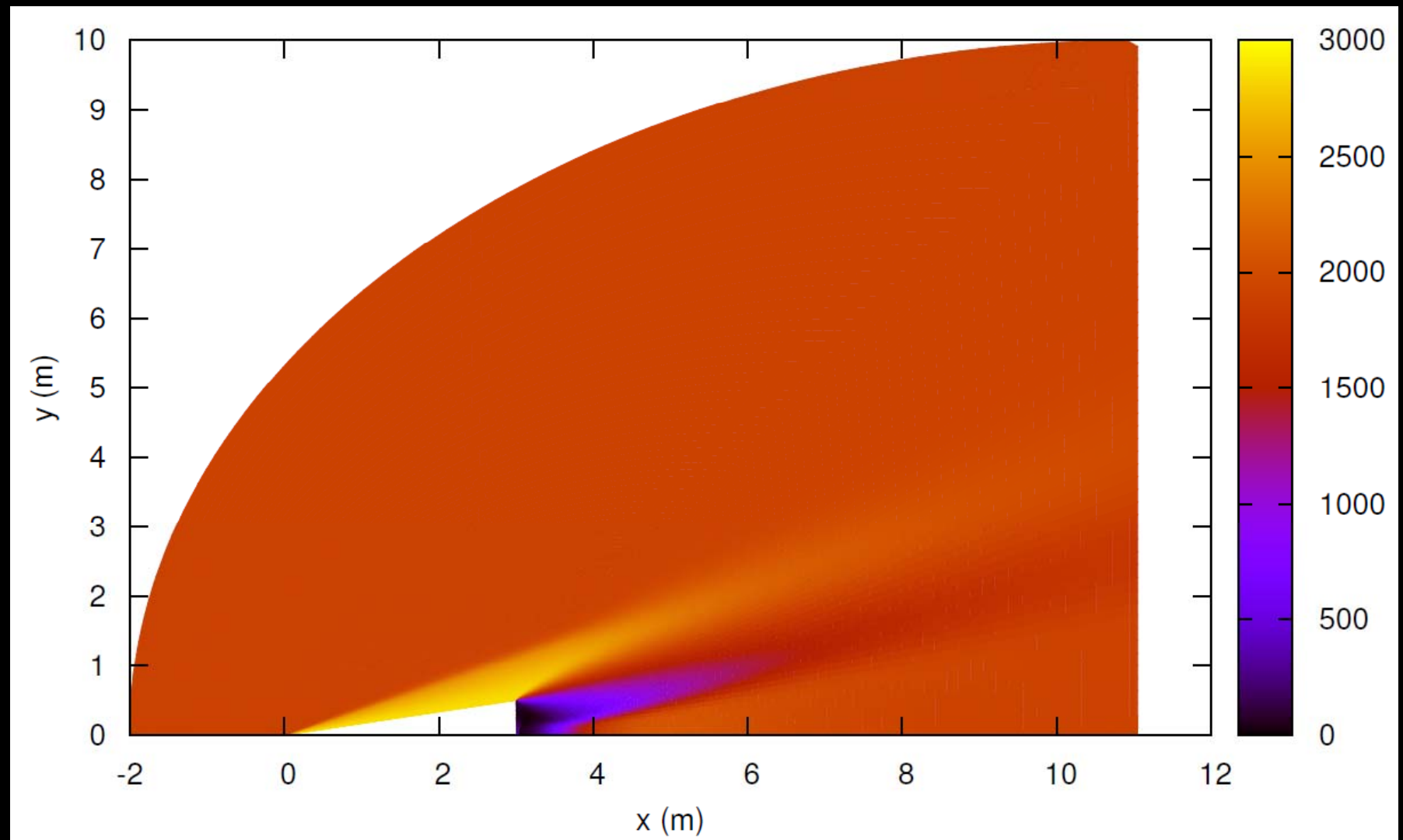
Linguagem de programação: Fortran 90

Aerodinâmica



Escoamento supersônico sobre um cone

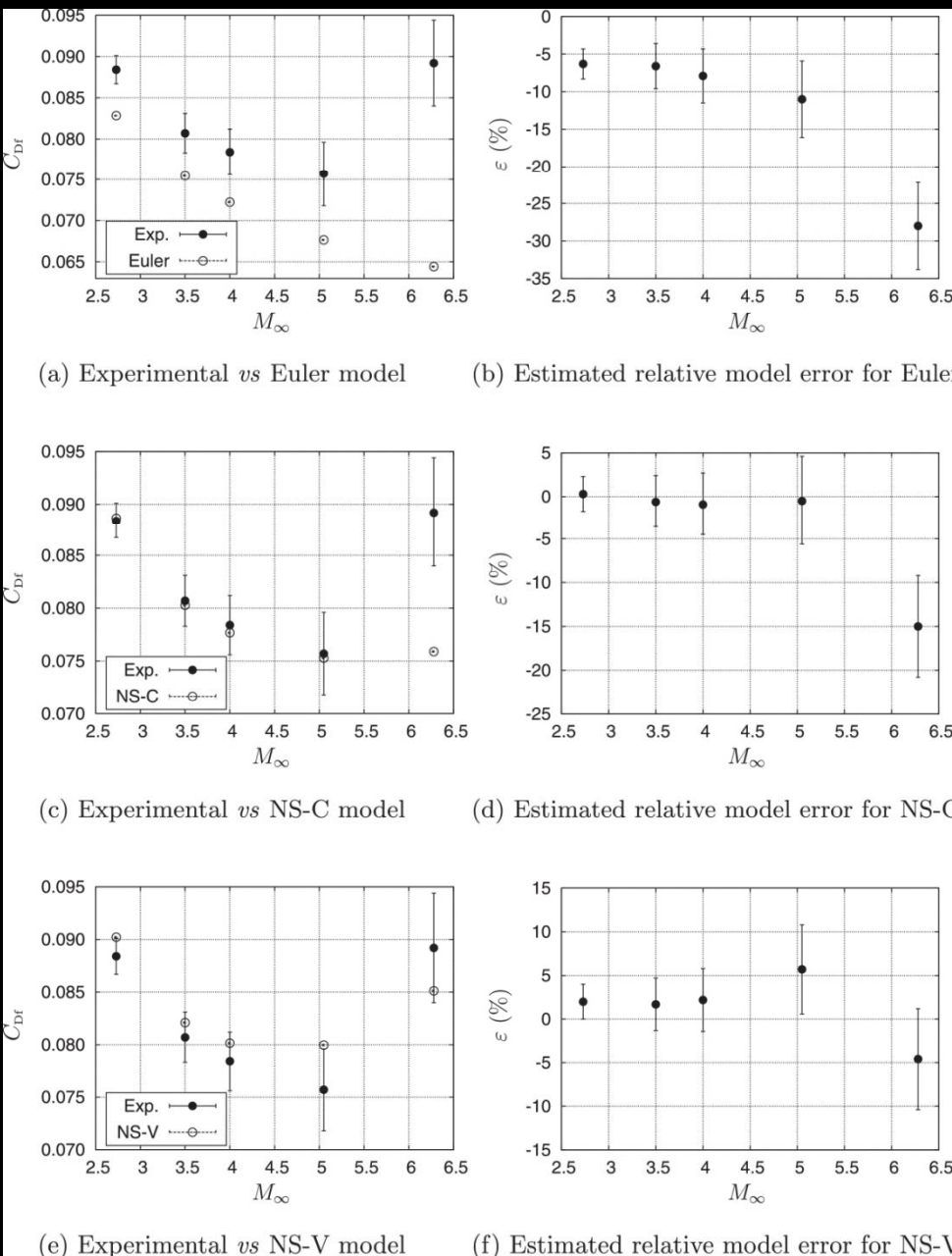
Ar sobre cone ($L/D = 3$): campo p



Ar sobre cone ($L/D = 3$): C_{Df}

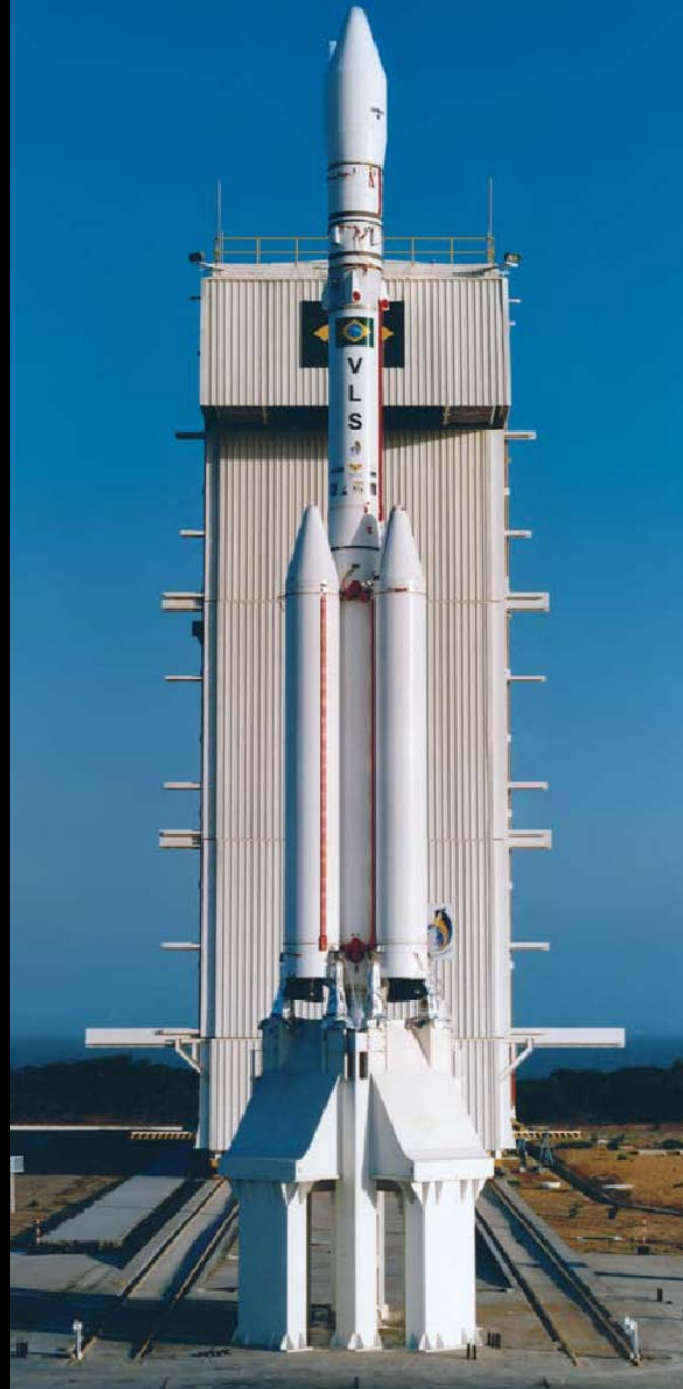
M	Re	Exp	Mach2D
3	$4,00 \times 10^6$	$0,084 \pm 0,003$	$0,08406 \pm 0,00007$
4	$2,16 \times 10^6$	$0,078 \pm 0,005$	$0,07779 \pm 0,00009$
5	$1,05 \times 10^6$	$0,076 \pm 0,005$	$0,07556 \pm 0,00009$

Aerodinâmica



Escoamento supersônico sobre um cone

O foguete brasileiro **VLS**



Foguete VS-30 (IAE) em túnel de vento



Ar sobre o foguete VLS

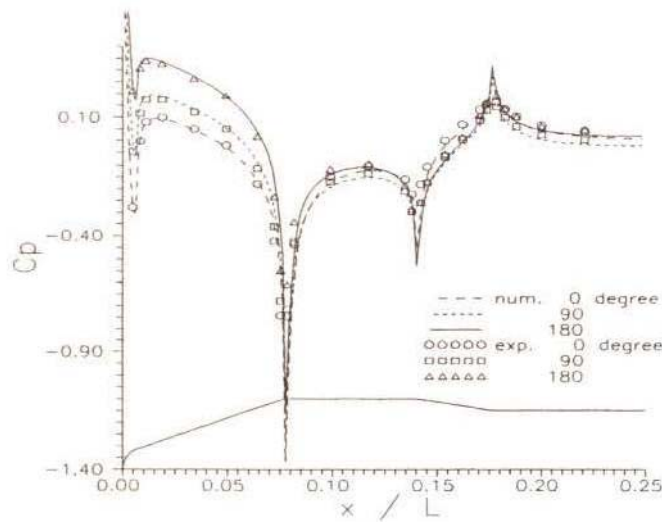


Figure 3. C_p for $M_\infty = 0.50$ and $\alpha = 6.0^\circ$.

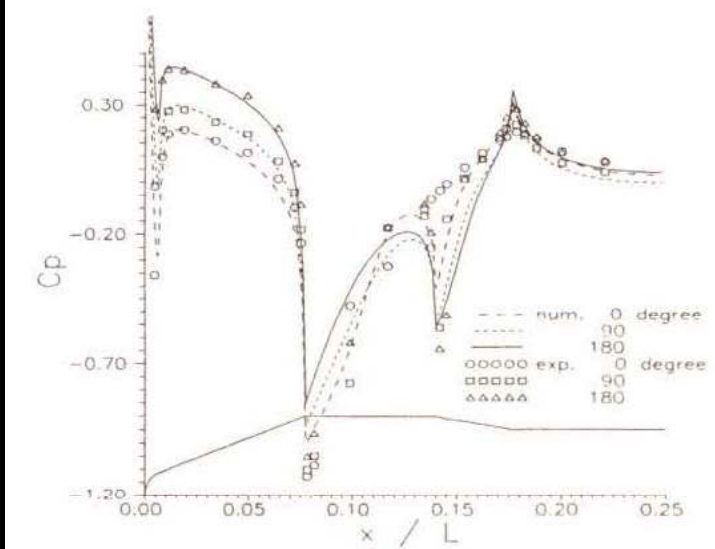


Figure 4. C_p for $M_\infty = 0.90$ and $\alpha = 6.0^\circ$.

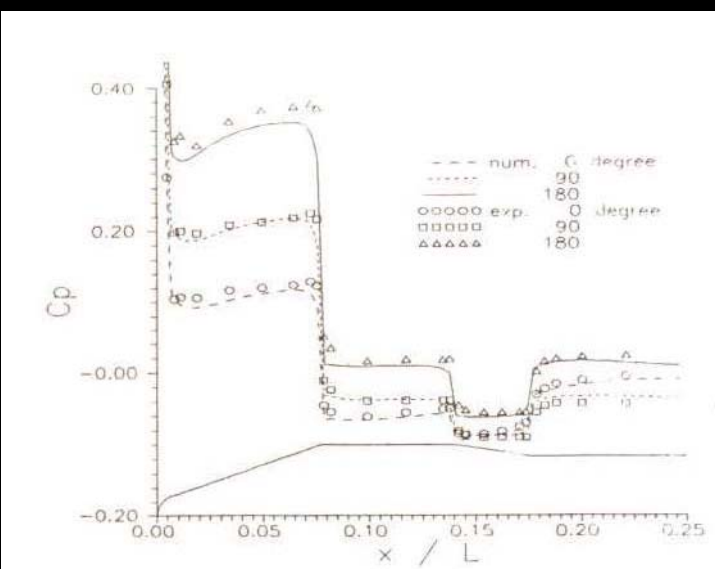
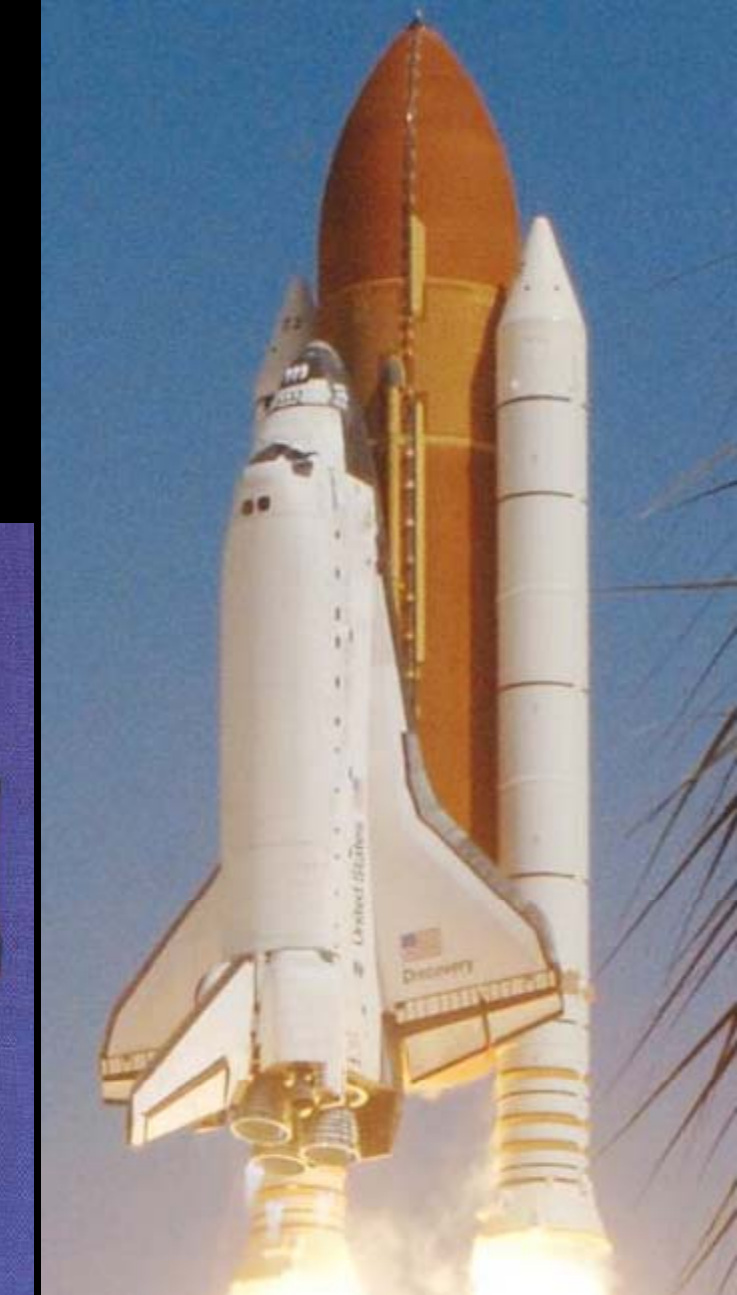
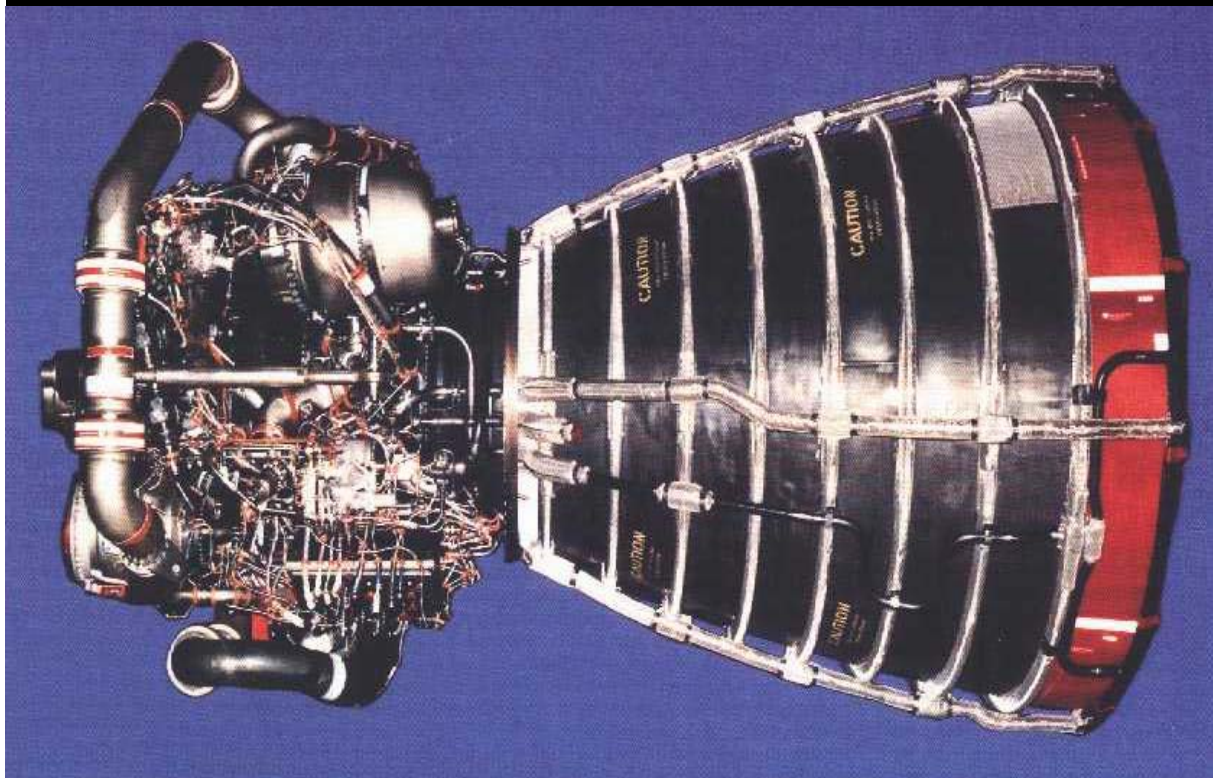
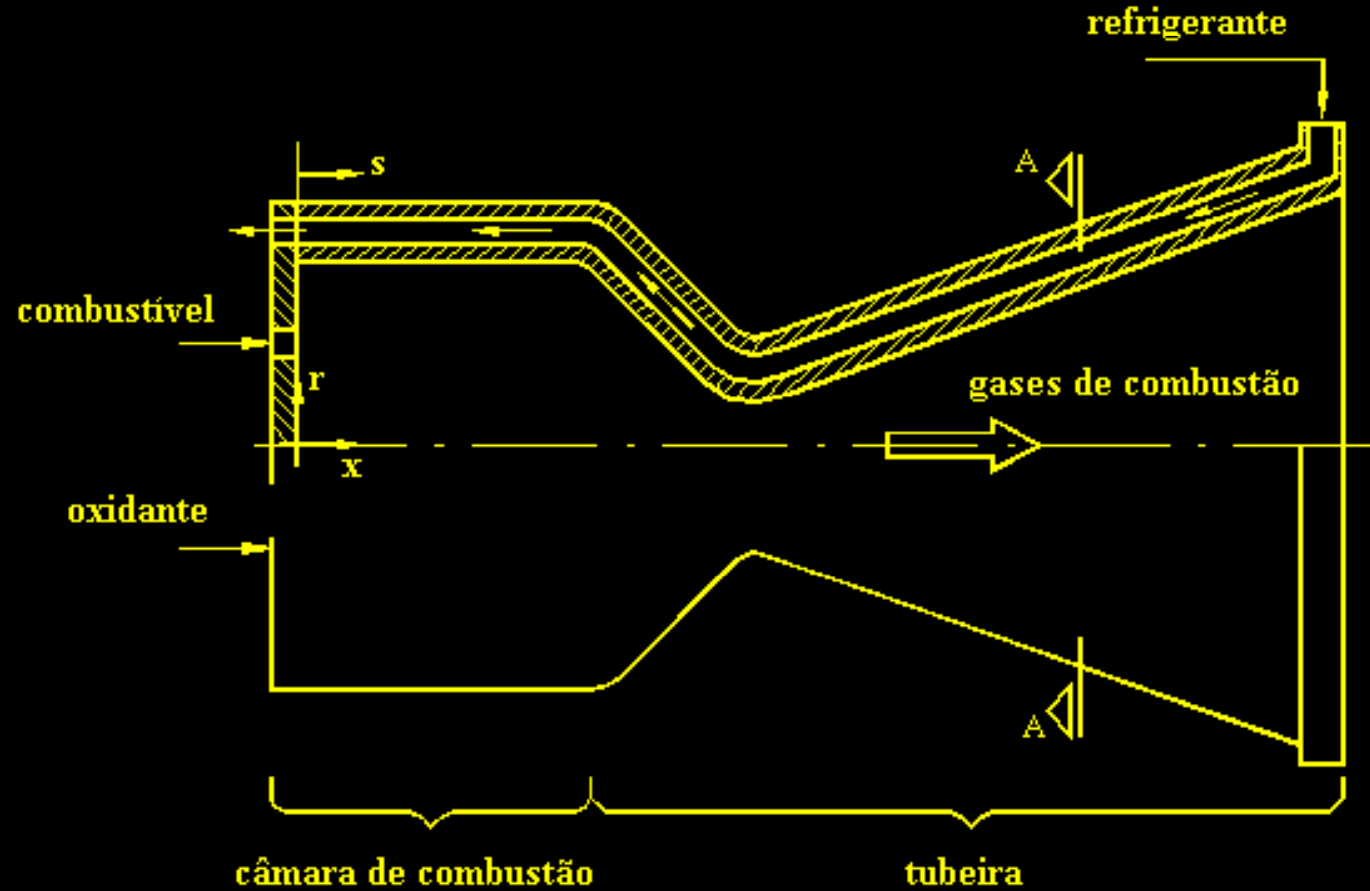


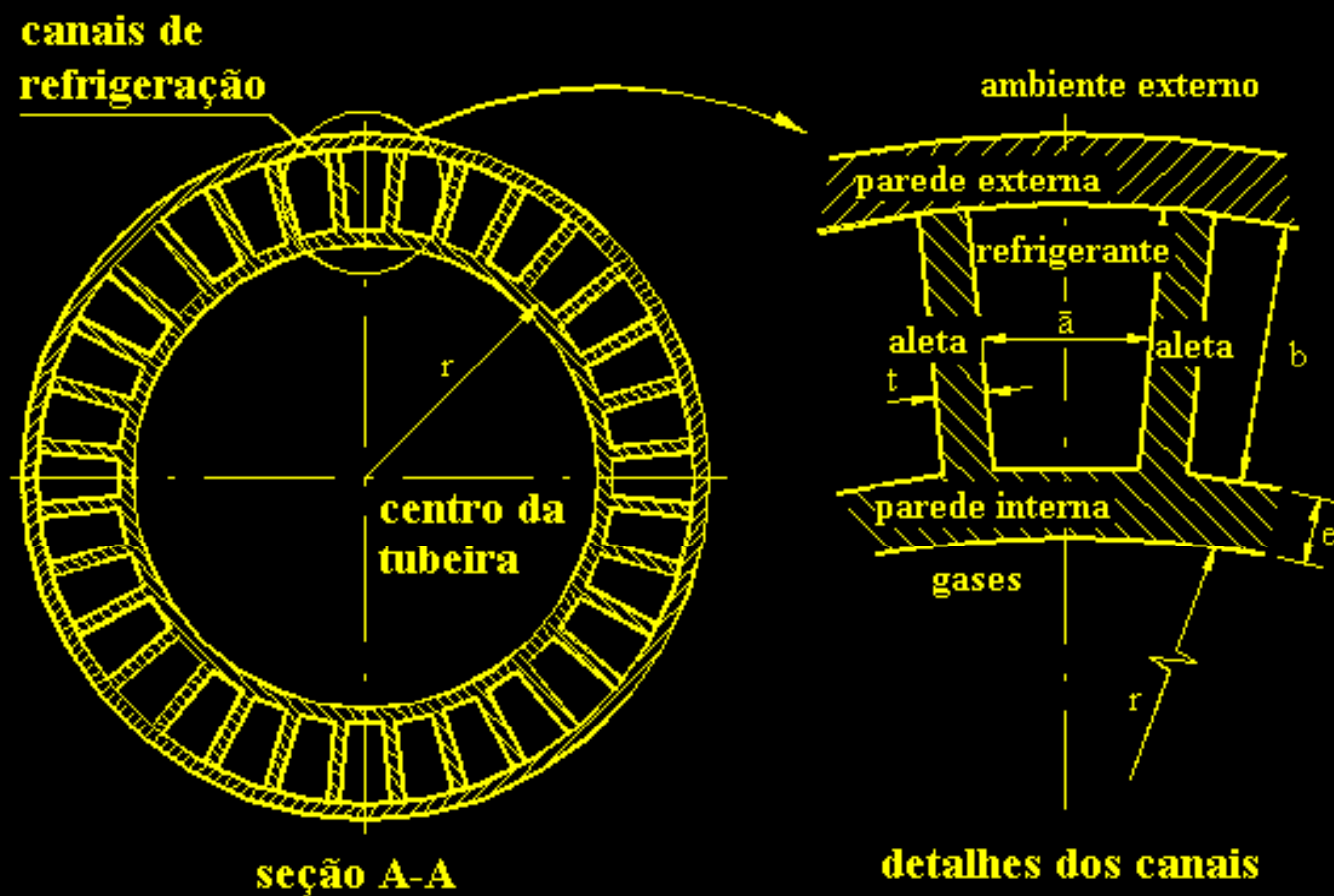
Figure 5. C_p for $M_\infty = 3.0$ and $\alpha = 6.1^\circ$.

Motor-foguete SSME e Space Shuttle





**Esquema de motor-foguete bipropelente com
refrigeração regenerativa**



Detalhes dos canais de refrigeração



Motor-foguete

Vulcain do

Ariane V

Motor Vulcain (Ariane V)

- F (nível do mar) = 103 tf
- Tw-max = 750 K
- To = 3.500 K
- Po = 100 atm
- q''max = 60 MW/m²
- Canais = 360
- Altura = 9,5 a 12 mm
- Largura = 1,3 a 2,6 mm

Modelos físicos para escoamento na tubeira

- 1: Gás com propriedades constantes
 - a) invíscido
- 2: Gás com propriedades variáveis
 - b) laminar
- 3: Gases congelados
 - c) turbulento
- 4: Gases em equilíbrio químico local
- 5: Gases com taxa finita de reação

Escoamento reativo 2D laminar

$$C^\phi \left[\frac{\partial}{\partial t} (\rho \phi) + \frac{\partial}{\partial x} (\rho u \phi) + \frac{1}{r} \frac{\partial}{\partial y} (r \rho v \phi) \right] = \frac{\partial}{\partial x} \left(\Gamma^\phi \frac{\partial \phi}{\partial x} \right) + \frac{1}{r} \frac{\partial}{\partial y} \left(r \Gamma^\phi \frac{\partial \phi}{\partial y} \right) + P^\phi + S^\phi$$

Equação	ϕ	C^ϕ	Γ^ϕ	P^ϕ	S^ϕ
Massa	1	1	0	0	0
QML-x	u	1	μ	$-\frac{\partial p}{\partial x}$	$\frac{1}{3} \frac{\partial}{\partial x} \left(\mu \frac{\partial u}{\partial x} \right) + \frac{1}{r} \frac{\partial}{\partial y} \left(\mu \frac{\partial v}{\partial x} \right) - \frac{2}{3} \frac{\partial}{\partial x} \left[\frac{\mu}{r} \frac{\partial}{\partial y} (r v) \right]$
QML-y	v	1	μ	$-\frac{\partial p}{\partial y}$	$\frac{1}{3r} \frac{\partial}{\partial y} \left(r \mu \frac{\partial v}{\partial y} \right) + \frac{\partial}{\partial x} \left(\mu \frac{\partial u}{\partial y} \right) - \frac{2}{3} \frac{\partial}{\partial y} \left(\mu \frac{\partial u}{\partial y} \right) - \frac{4}{3} f \frac{u}{r^2} v - \frac{2}{3r} f v \frac{\partial \mu}{\partial y}$
Energia	T	c_p	k	$\frac{\partial p}{\partial t} - u P^u - v P^v$	$2\mu \left[\left(\frac{\partial u}{\partial x} \right)^2 + \left(\frac{\partial v}{\partial y} \right)^2 + f \left(\frac{v}{r} \right)^2 \right] + \mu \left(\frac{\partial v}{\partial x} + \frac{\partial u}{\partial y} \right)^2 - \frac{2}{3} \mu \left(\frac{\partial u}{\partial x} + \frac{\partial v}{\partial y} + f \frac{v}{r} \right)^2 + S_{eq/tf}$
Especies	Y_i	1	0	0	\dot{w}_i

Escoamento reativo 2D laminar

Equilíbrio químico local

$$S_{eq/tf} = -\frac{\partial}{\partial x} \left(\sum_{i=1}^{N_e} \rho h_i Y_i u \right) - \frac{1}{r} \frac{\partial}{\partial y} \left(\sum_{i=1}^{N_e} r \rho h_i Y_i v \right)$$

Taxa finita:

$$S_{eq/tf} = -\sum_{i=1}^{N_e} h_i \dot{w}_i \quad p = \sum_{i=1}^{N_e} p_i$$

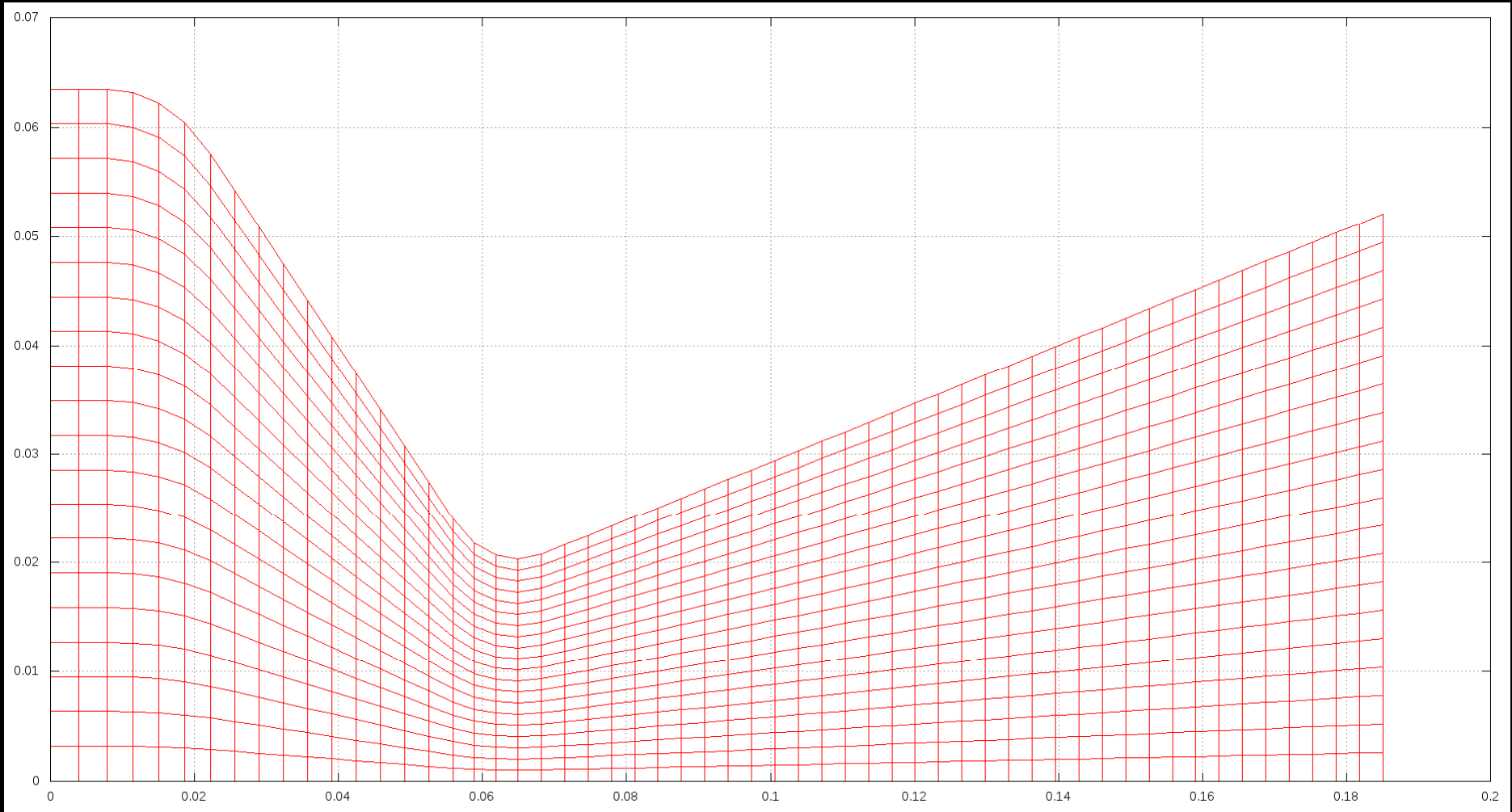
$$c_p = \sum_{i=1}^{N_e} Y_i (c_p)_i \quad R = \sum_{i=1}^{N_e} Y_i R_i \quad p = \rho R T$$

Modelos químicos para H₂/O₂

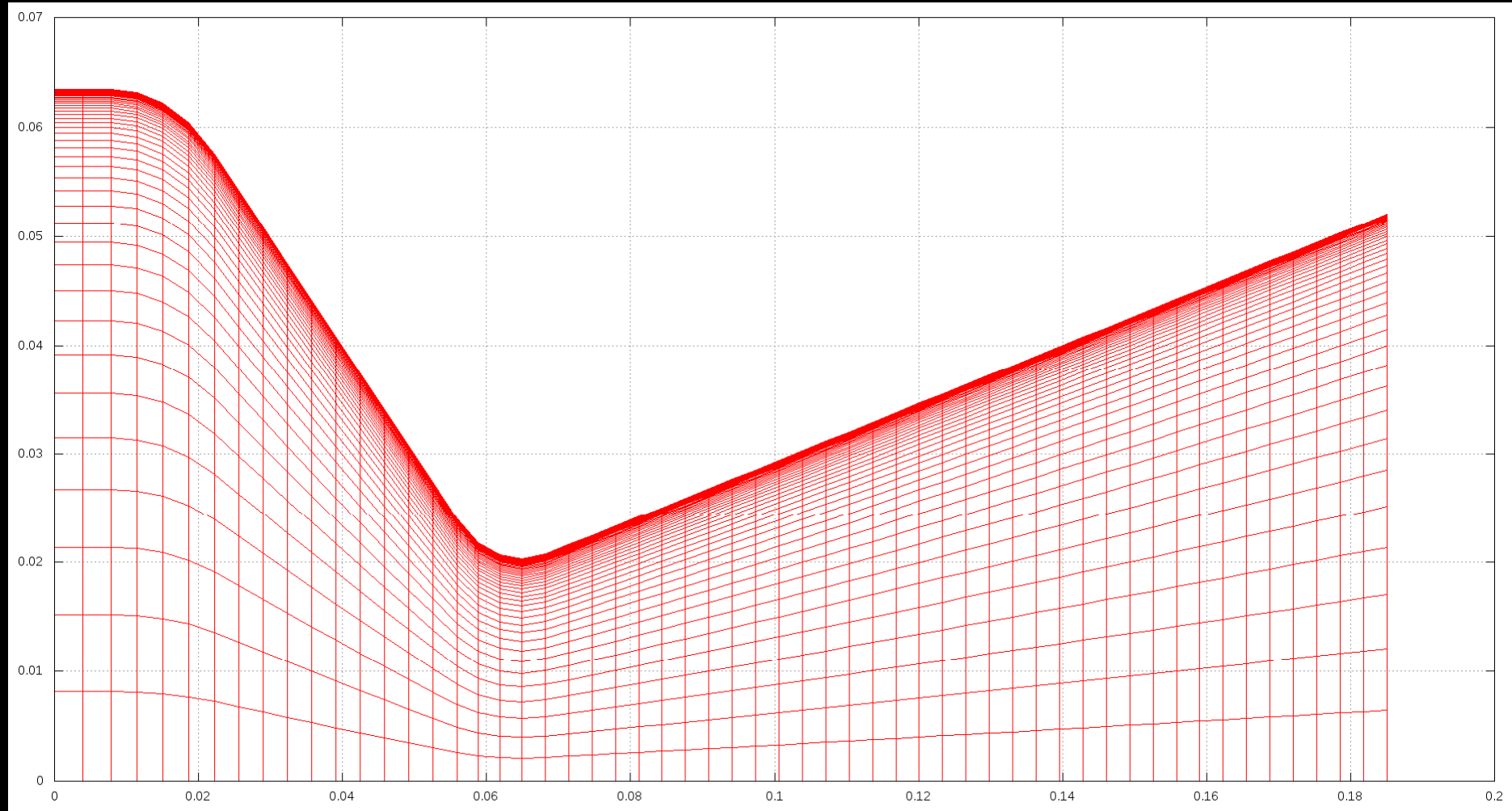
9 equilíbrio e 6 taxa finita

Modelo	Número de reações	Número de espécies	Espécies envolvidas
0	0	3	H ₂ O, O ₂ , H ₂
1	1	3	H ₂ O, O ₂ , H ₂
2	2	4	H ₂ O, O ₂ , H ₂ , OH
3	4	6	H ₂ O, O ₂ , H ₂ , OH, O, H
4	4	6	H ₂ O, O ₂ , H ₂ , OH, O, H
5	8	6	H ₂ O, O ₂ , H ₂ , OH, O, H
7	8	6	H ₂ O, O ₂ , H ₂ , OH, O, H
10	6	8	H ₂ O, O ₂ , H ₂ , OH, O, H, HO ₂ , H ₂ O ₂
9	18	8	H ₂ O, O ₂ , H ₂ , OH, O, H, HO ₂ , H ₂ O ₂

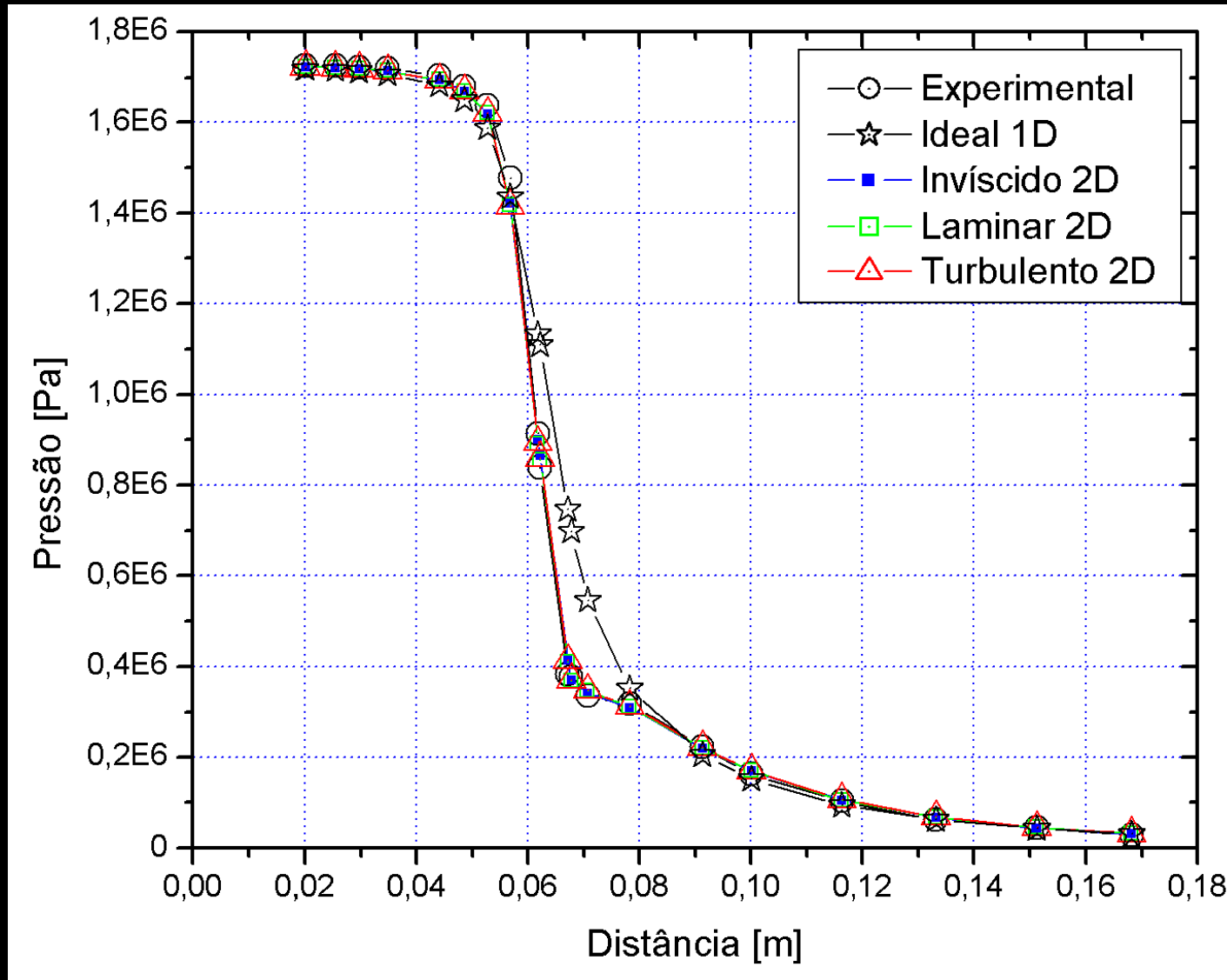
Malha 56x20, Mach2D, inviscido



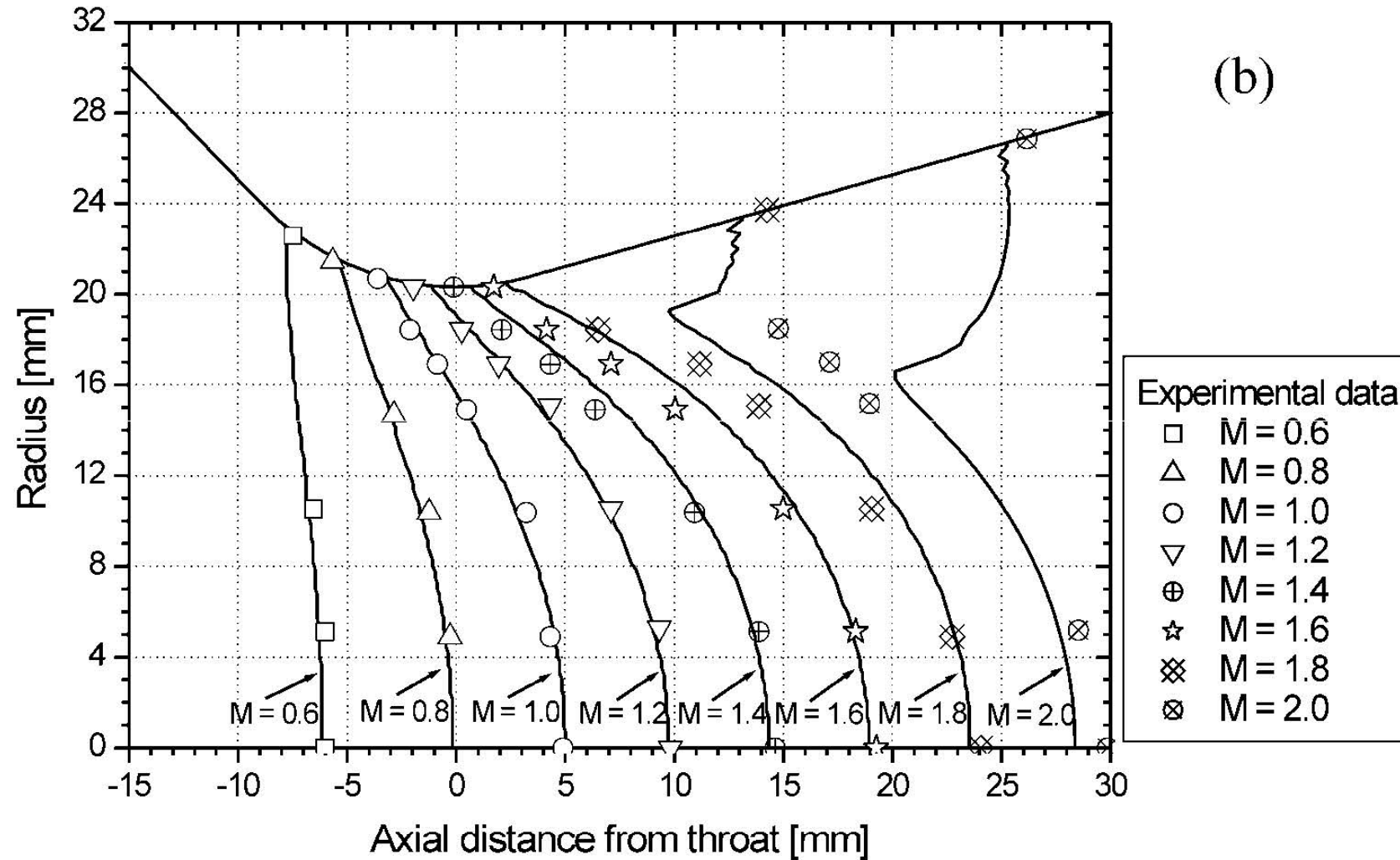
Malha 56x50, Mach2D, laminar



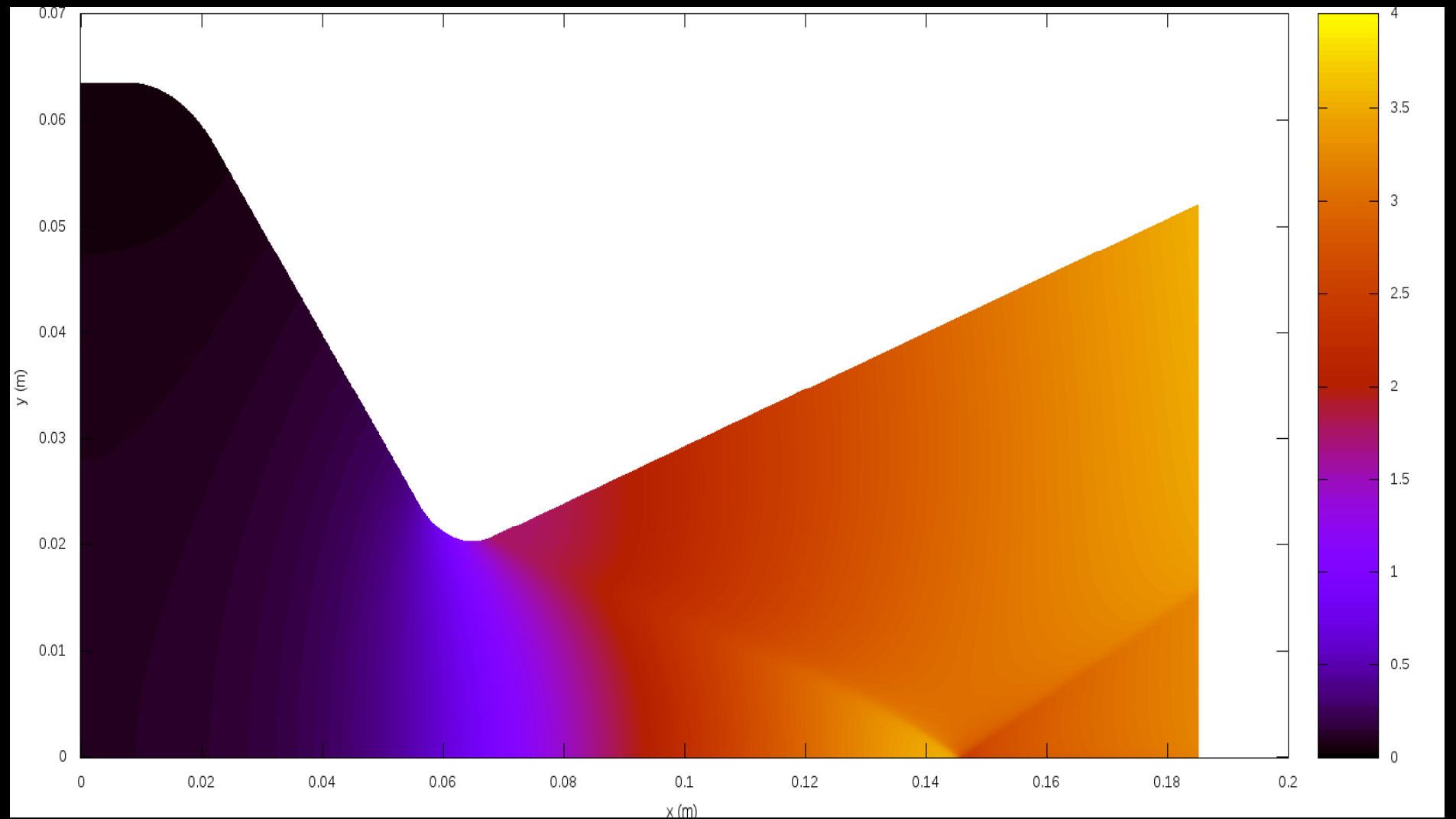
Mach2D, 224x80/200, p parede



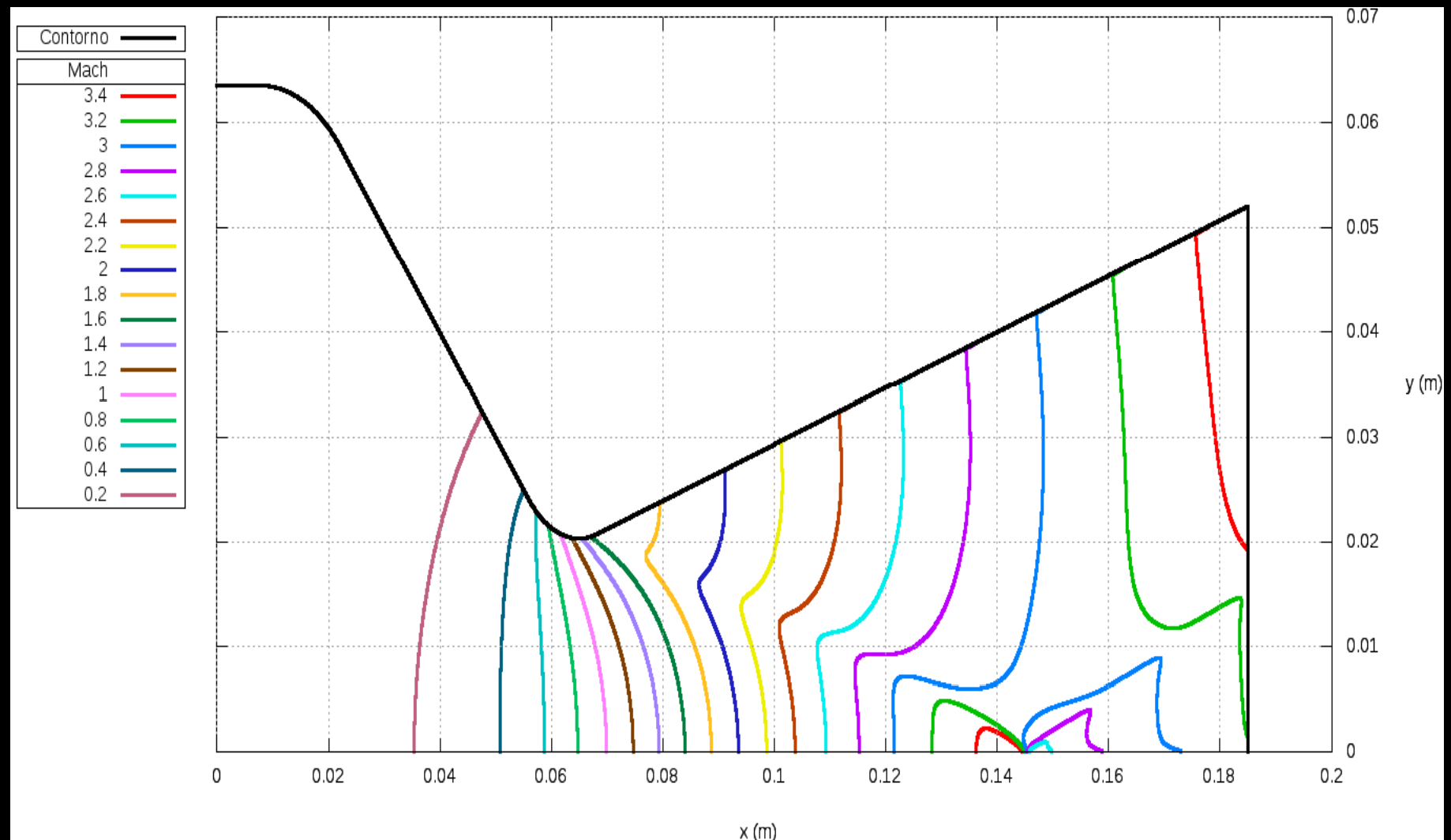
Propulsão



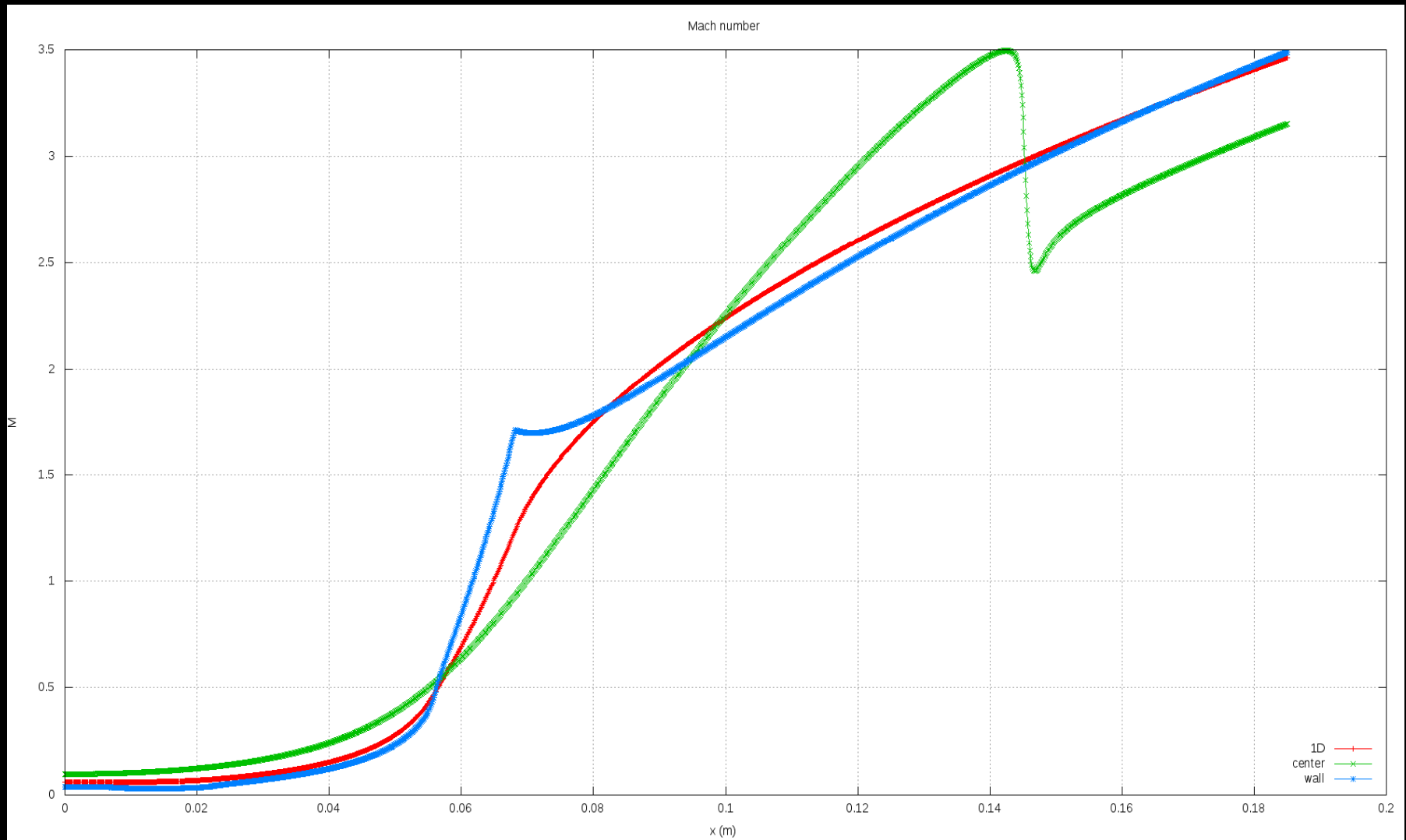
Mach, inviscido, 1792x640, Mach2D



Mach, invíscido, 1792x640, Mach2D



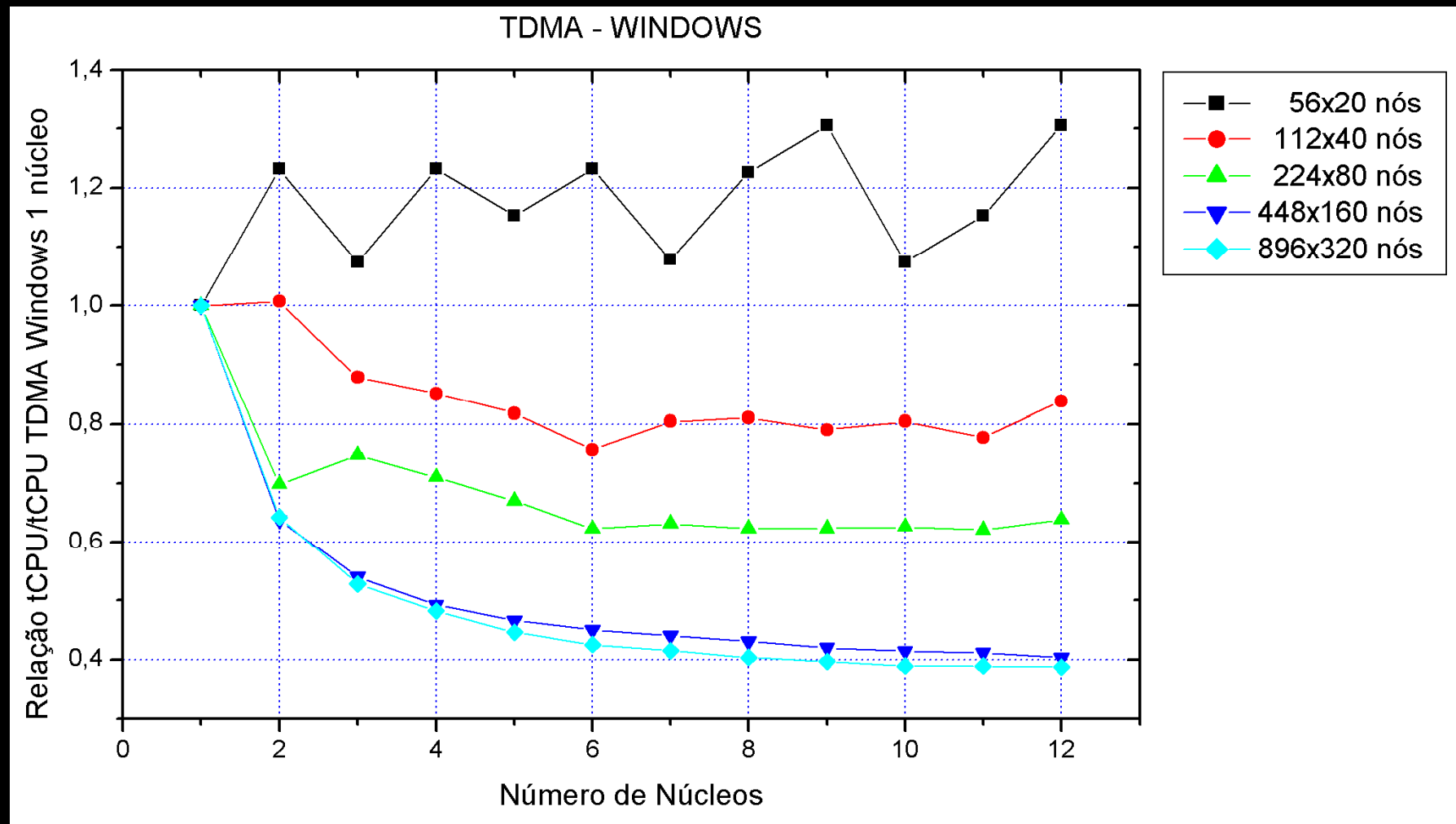
Mach, inviscido, 1792x640, Mach2D



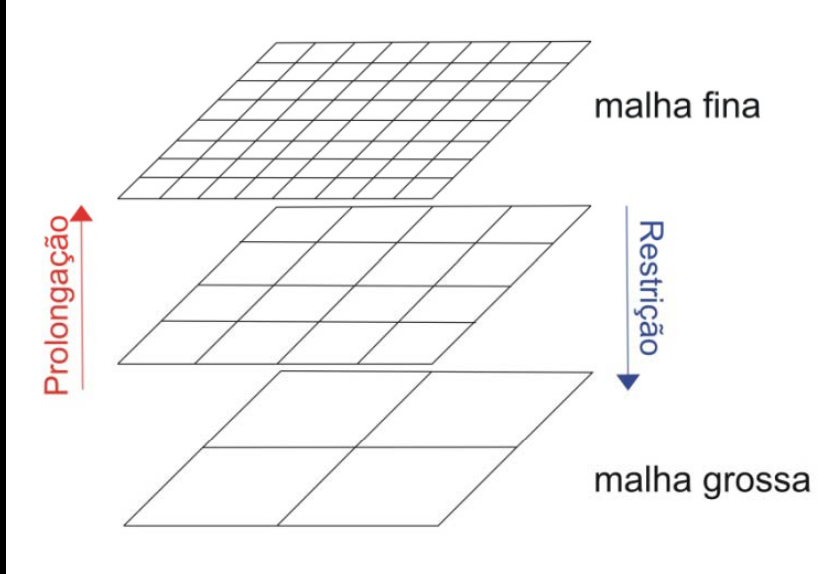
Otimização de métodos numéricos

- Métodos *multigrid* geométricos e algébricos
- Aproximações numéricas
- Multiextrapolação de Richardson
- Programação //, *solvers* etc

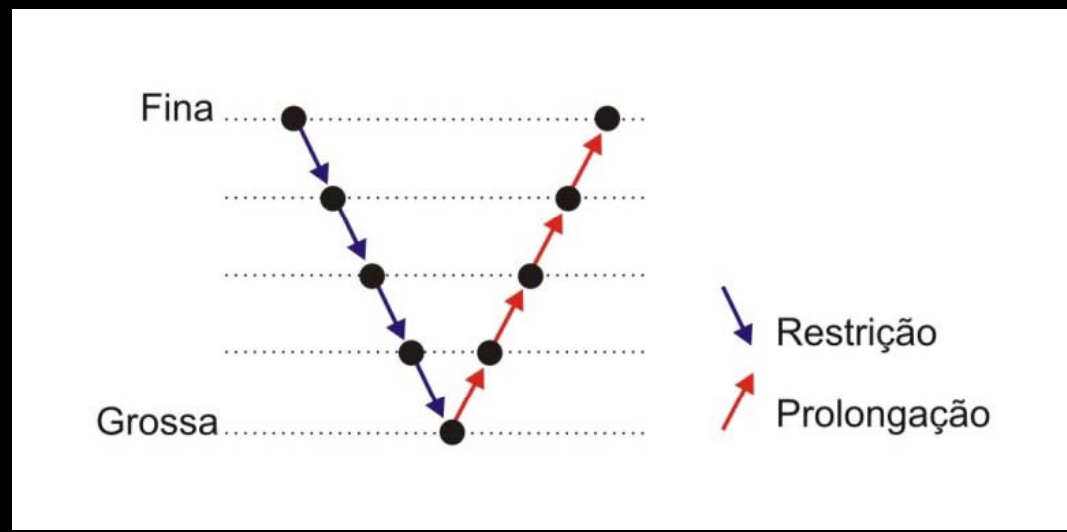
Otimização do Mach2D com //



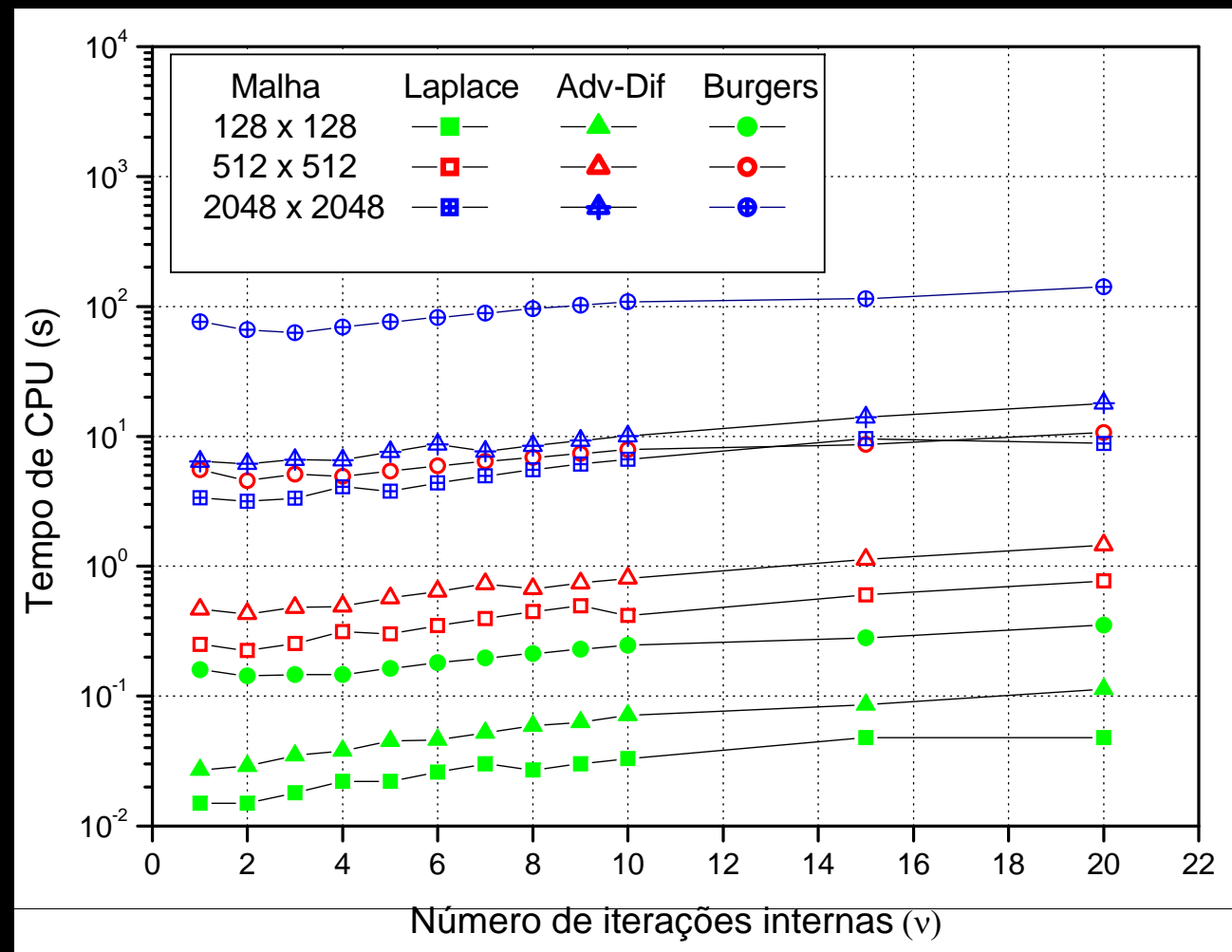
Multigrid



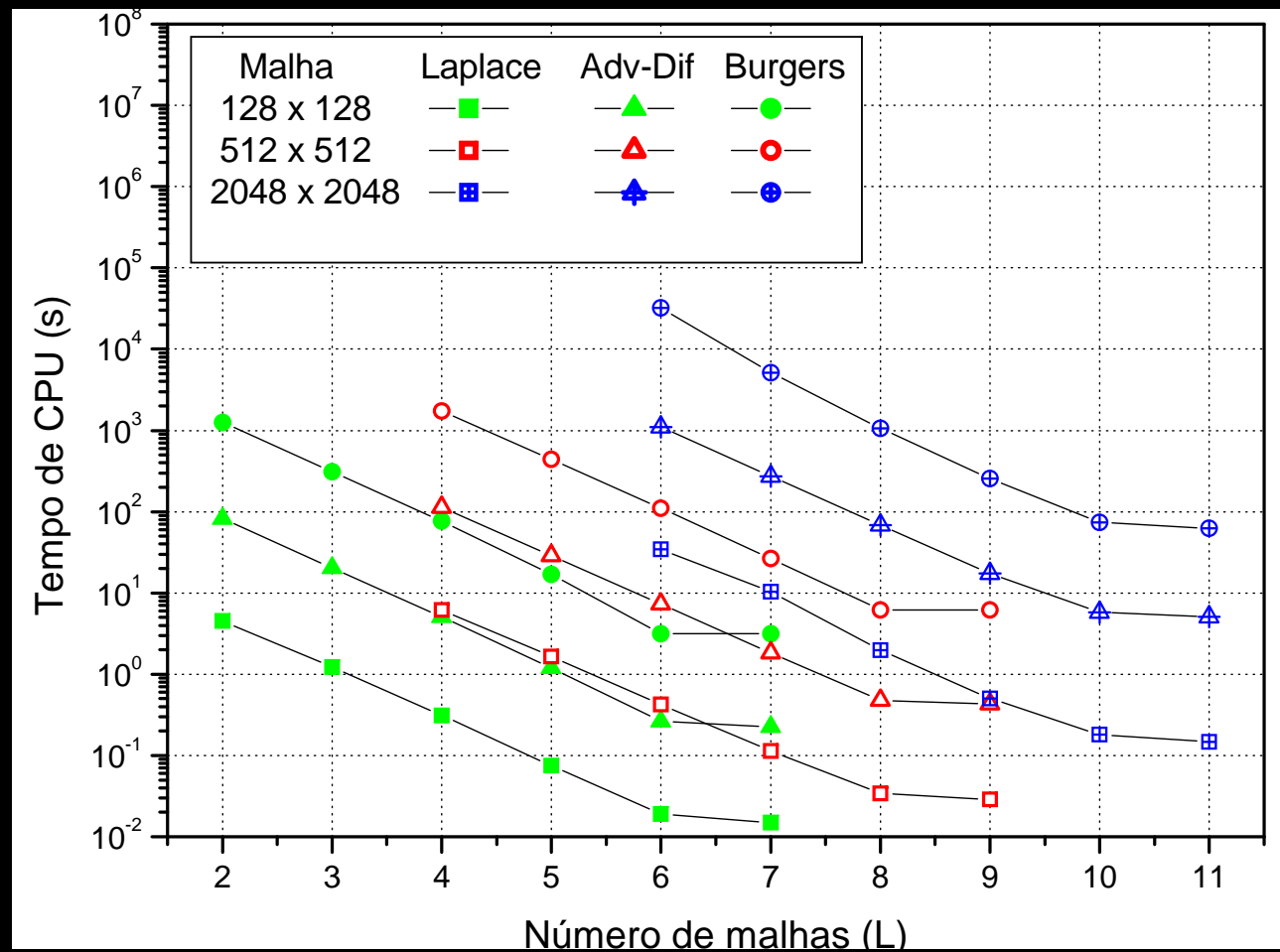
- Ciclos
- FAS x CS
- GMG x AMG
- MG x FMG



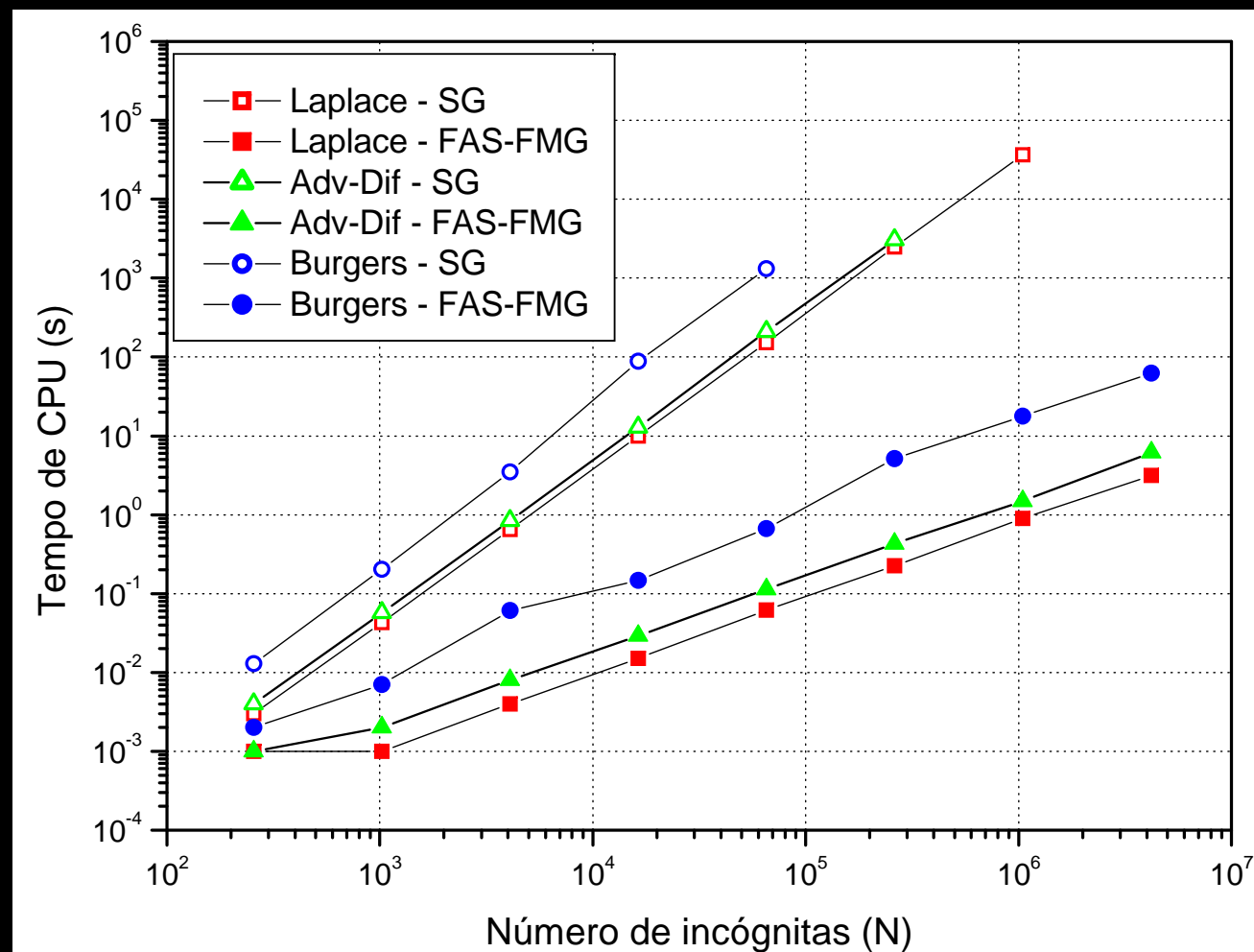
Efeito de ν sobre o tempo de CPU FAS-FMG e *solver GS-Lex* em VF



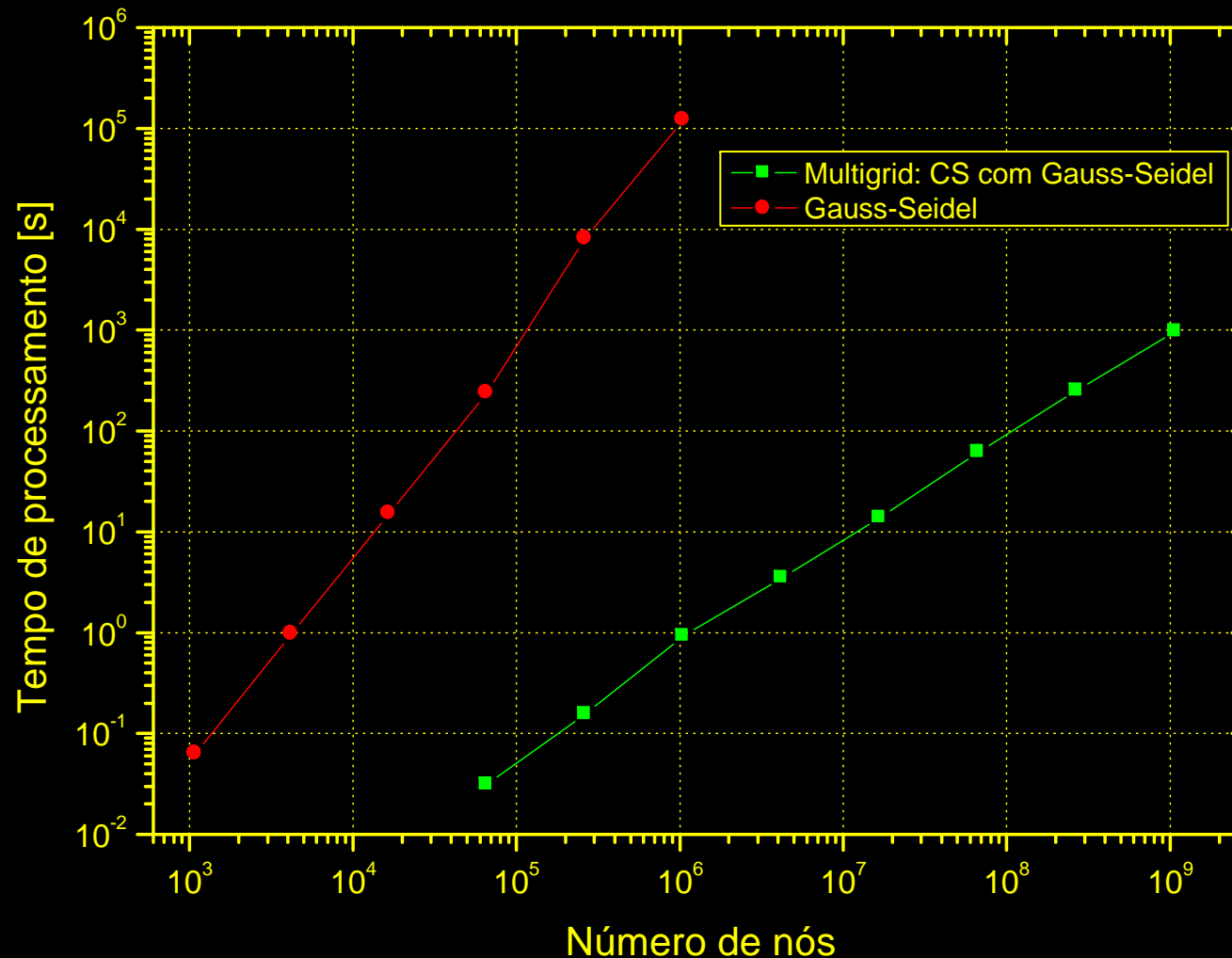
Efeito de L sobre o tempo de CPU FAS-FMG e solver GS-Lex em VF



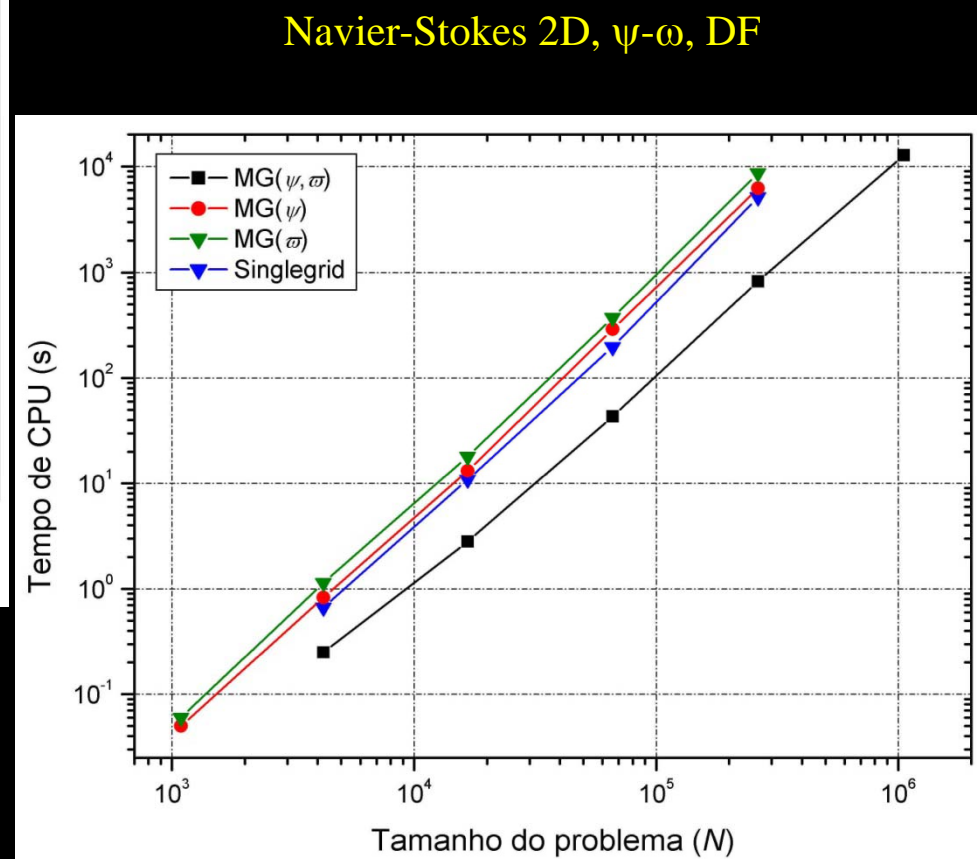
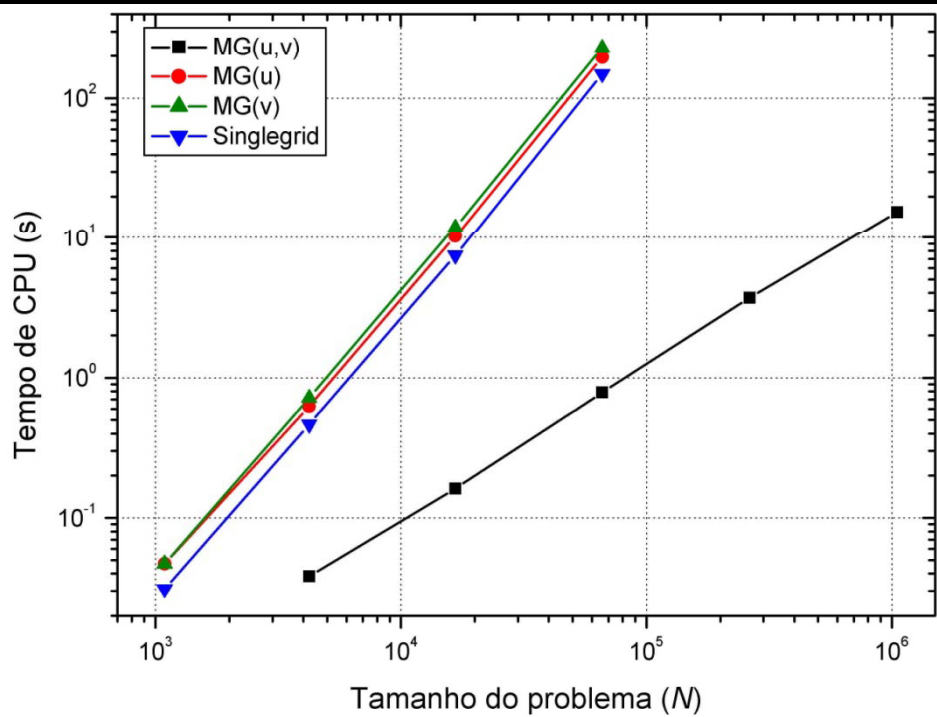
Efeito de N sobre o tempo de CPU FAS-FMG e *solver* GS-Lex em VF



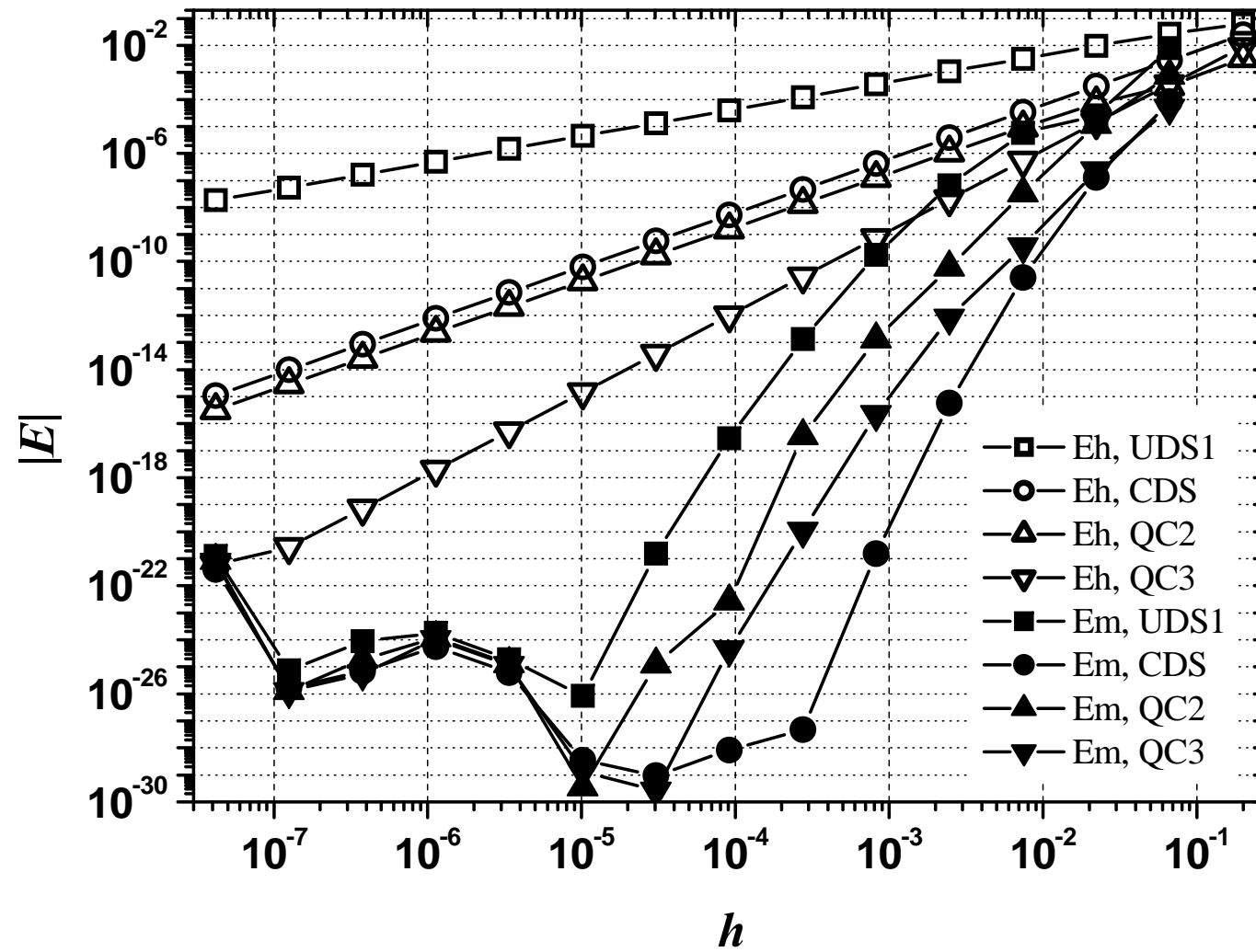
Laplace 2D em DF com CDS-2



Multigrid em 1 ou 2 equações



MER em Tc, Advecção-difusão 1D, VF



MER

$$E(\phi) = \Phi - \phi$$

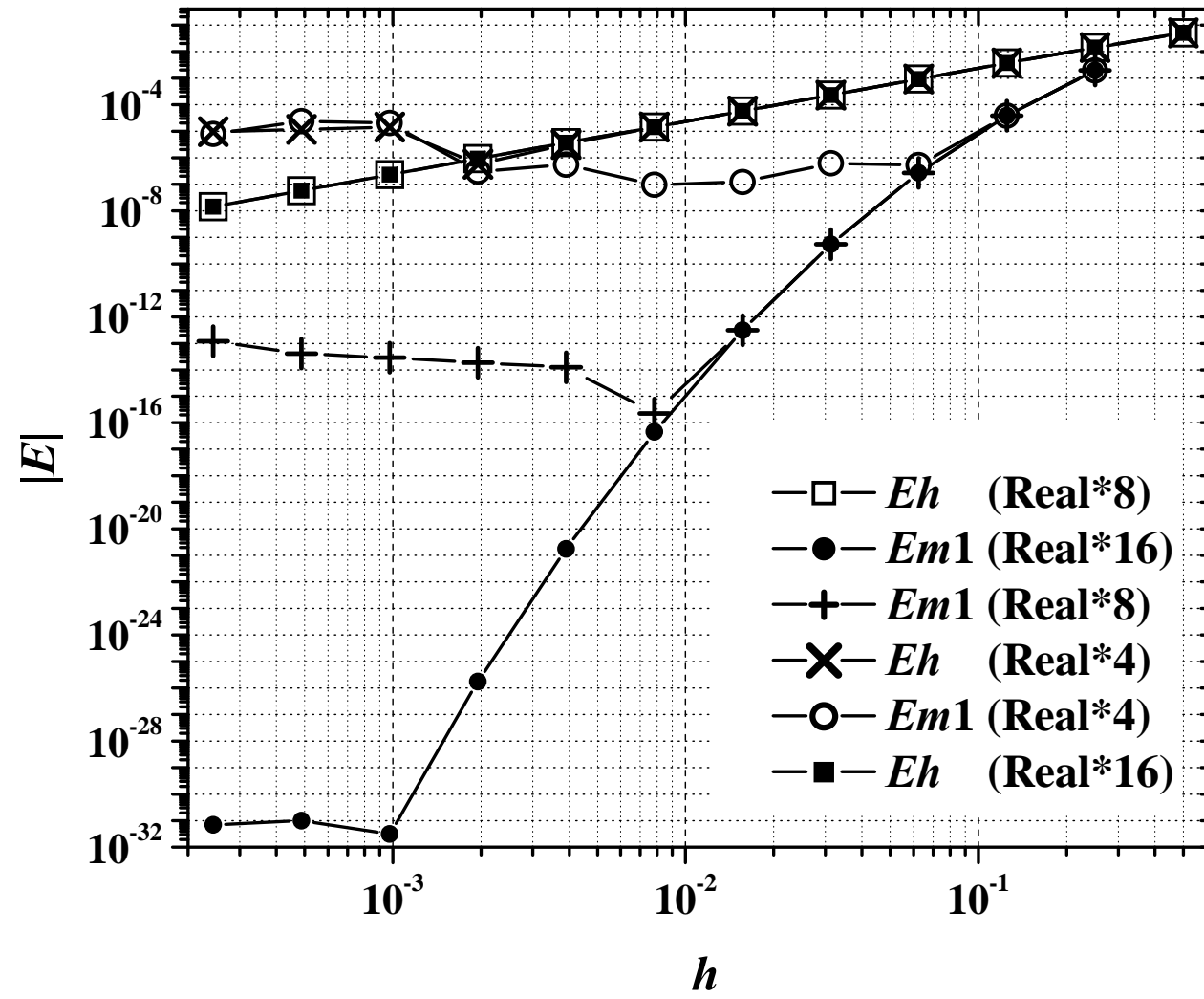
$$E(\phi) = C_0 h^{p_0} + C_1 h^{p_1} + C_2 h^{p_2} + \dots = \sum_{m=0}^{\infty} C_m h^{p_m}$$

$$\phi_{g,m} = \phi_{g,m-1} + \frac{\phi_{g,m-1} - \phi_{g-1,m-1}}{r^{p_{m-1}} - 1}$$

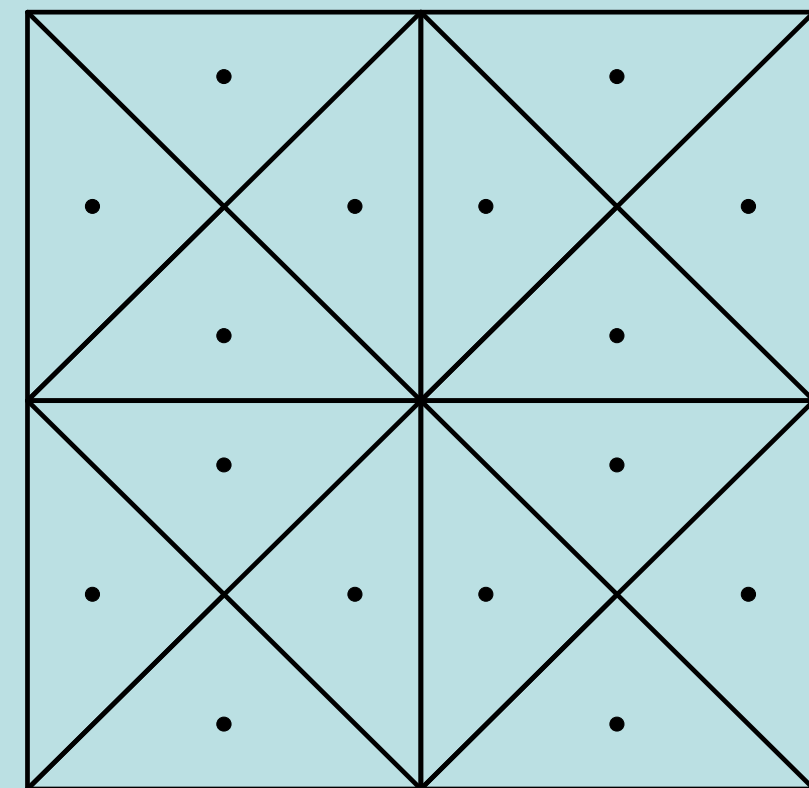
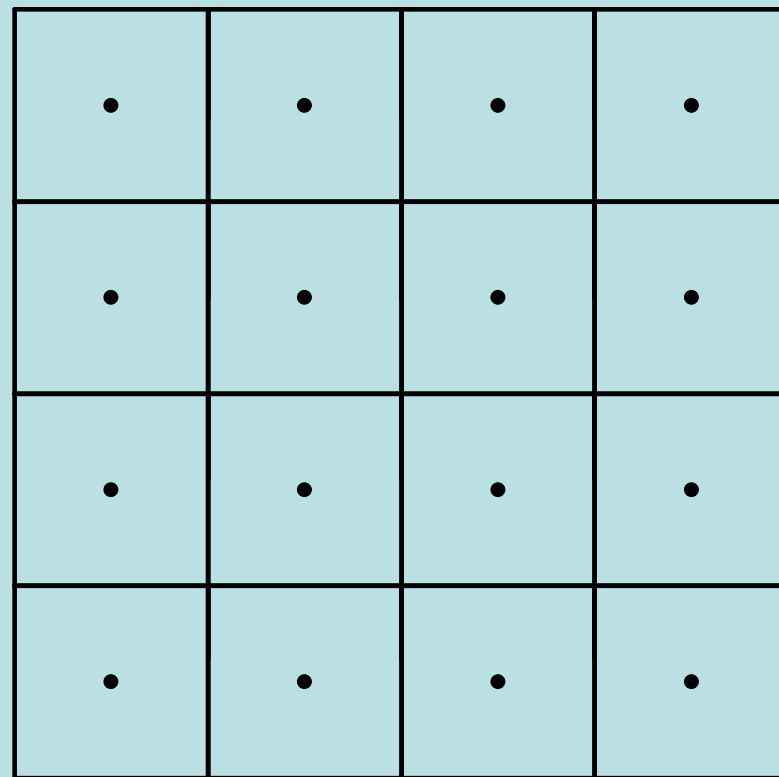
Tabela de MER

$g \setminus m$	0	1	2	3	4
1	1,0				
2	2,0	2,1			
3	3,0	3,1	3,2		
4	4,0	4,1	4,2	4,3	
5	5,0	5,1	5,2	5,3	5,4

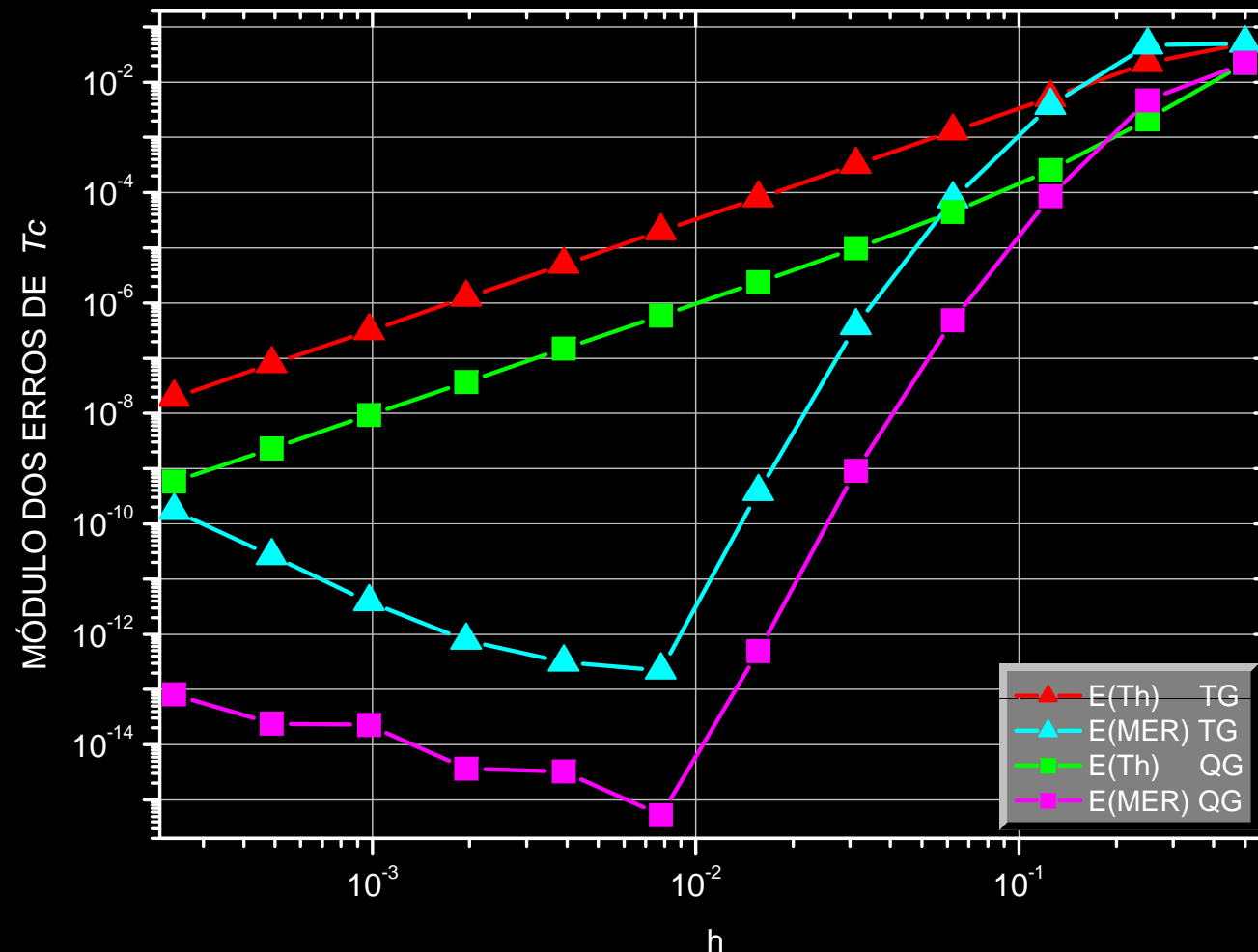
MER em Tc, Laplace 2D, DF



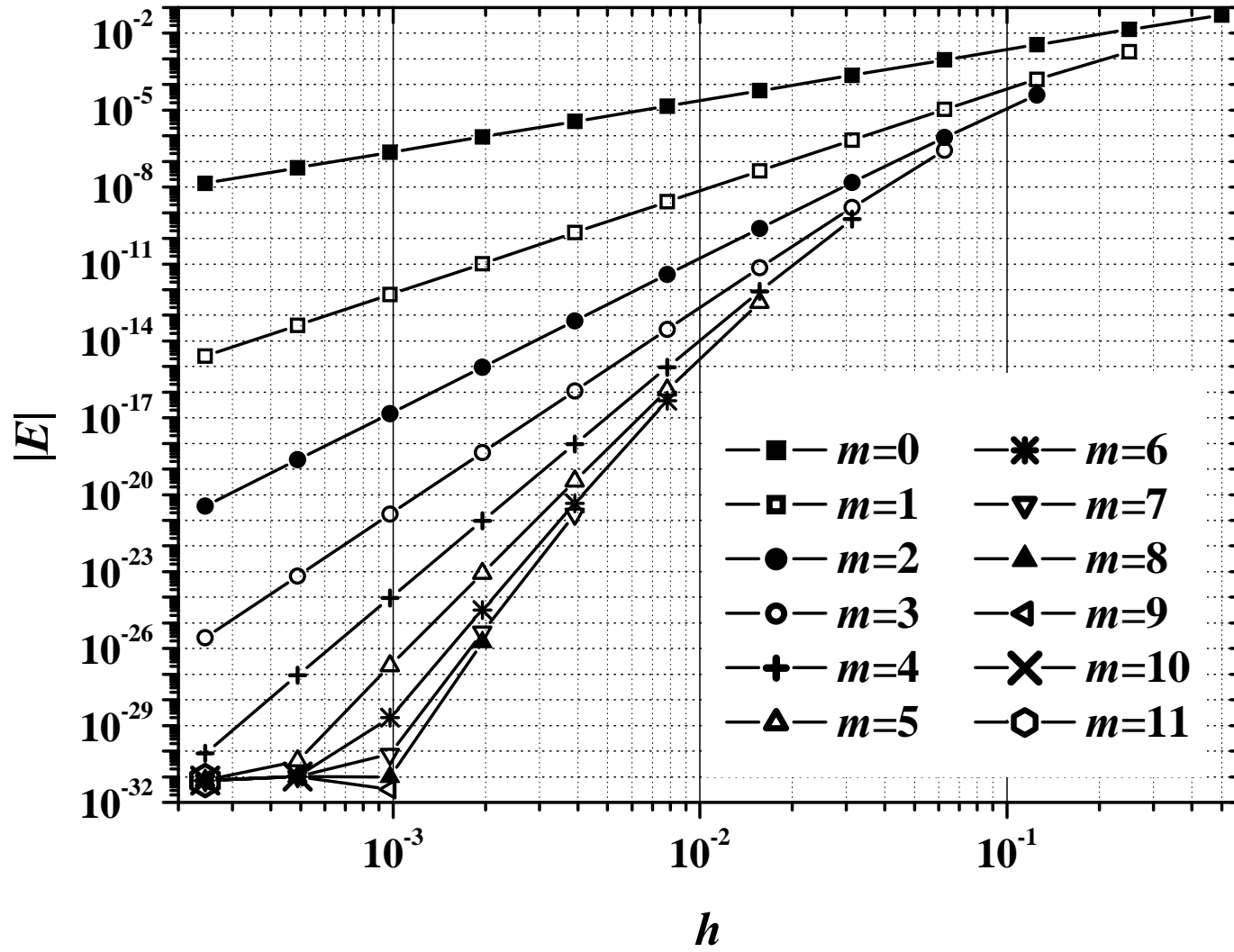
Malhas quadradas e triangulares



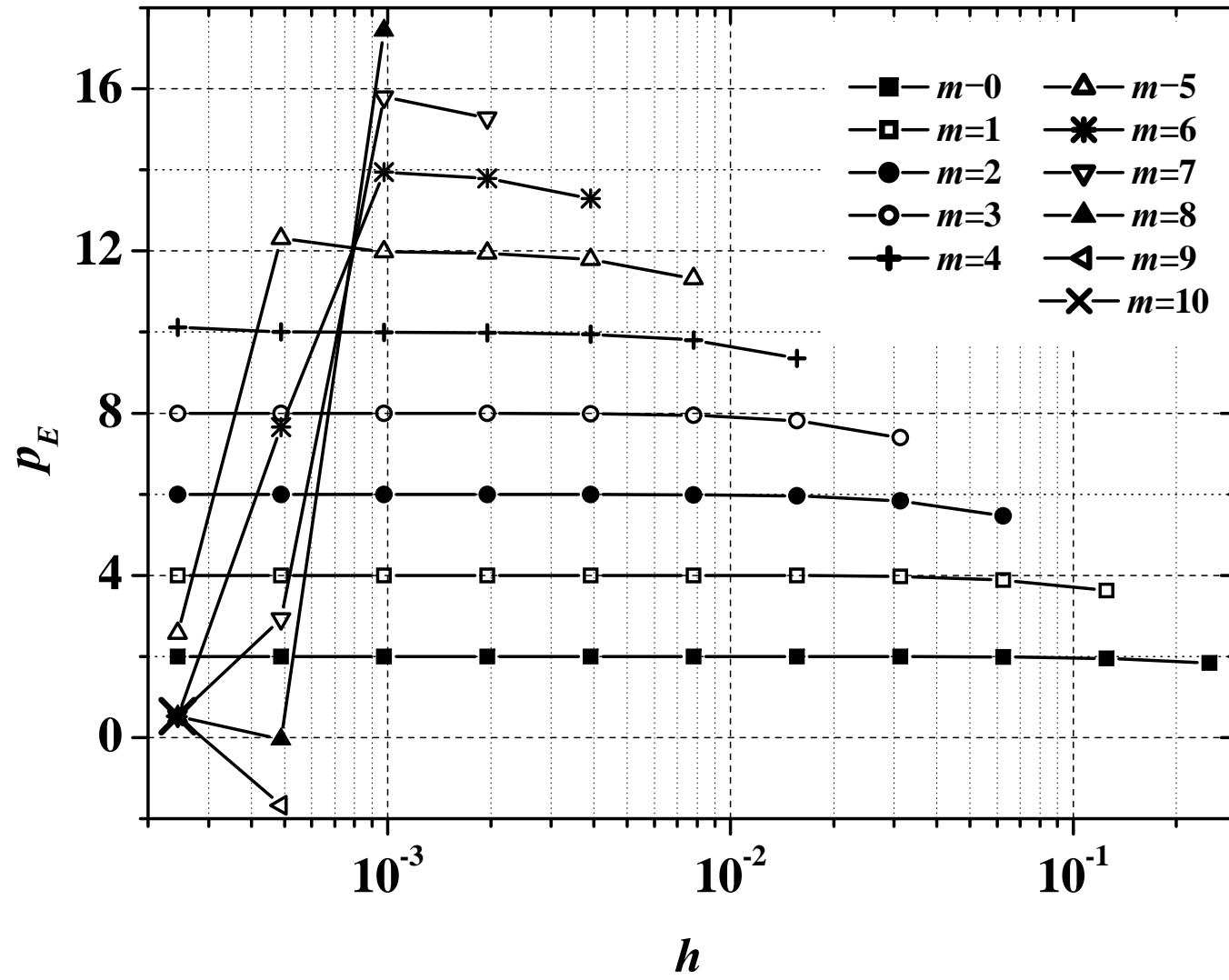
MER em Tc, Laplace 2D, VF



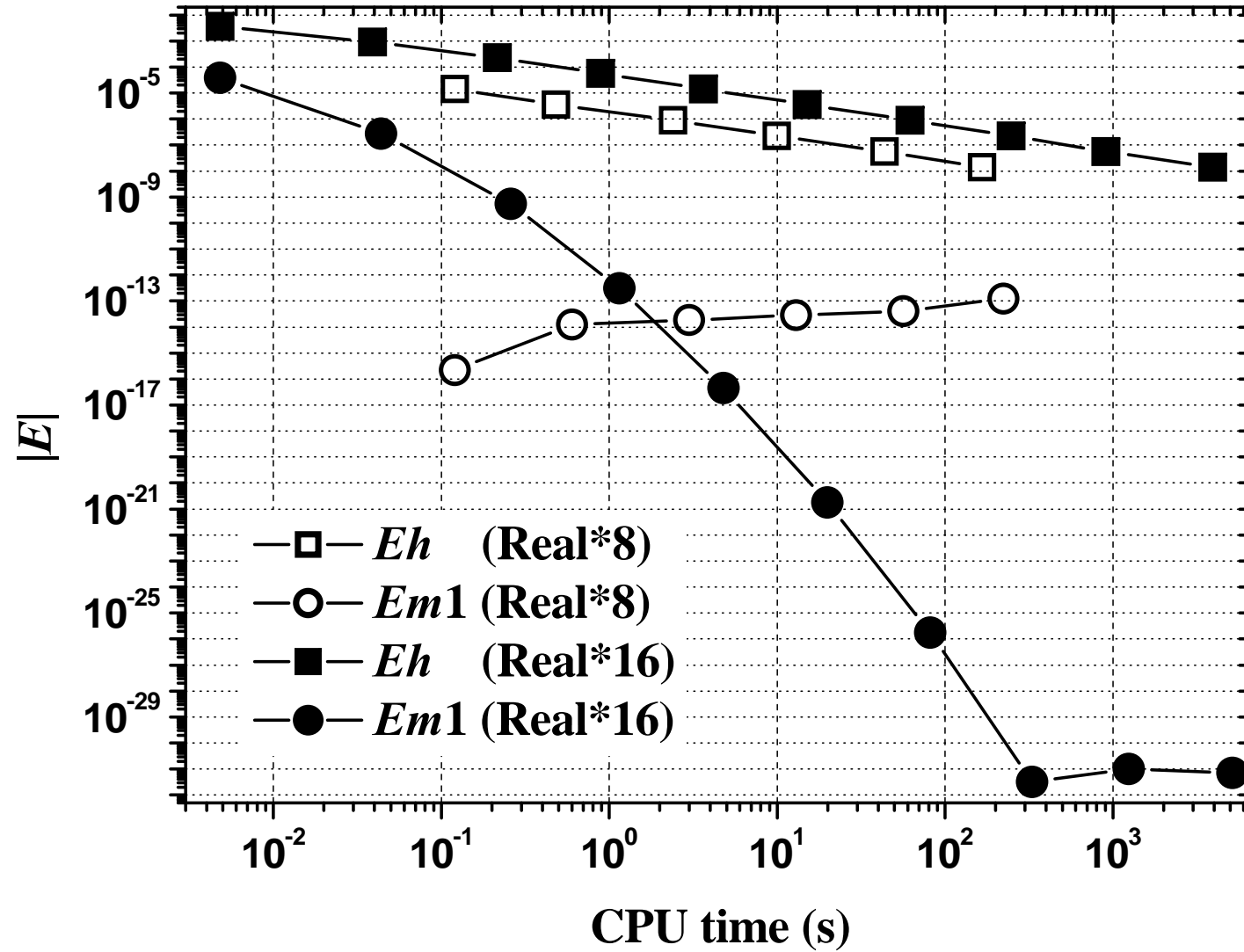
MER em Tc, Laplace 2D, DF



MER em Tc, Laplace 2D, DF



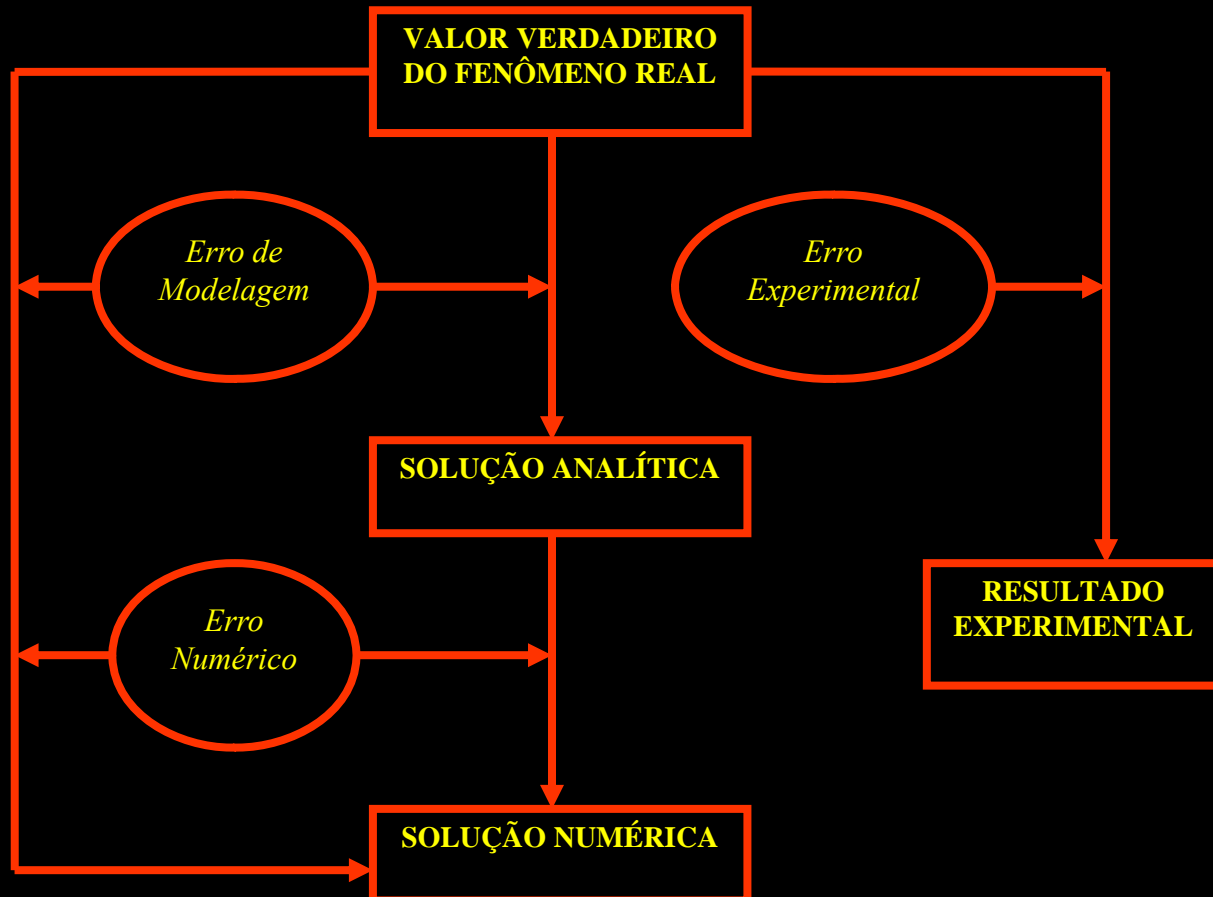
MER em Tc, Laplace 2D, DF



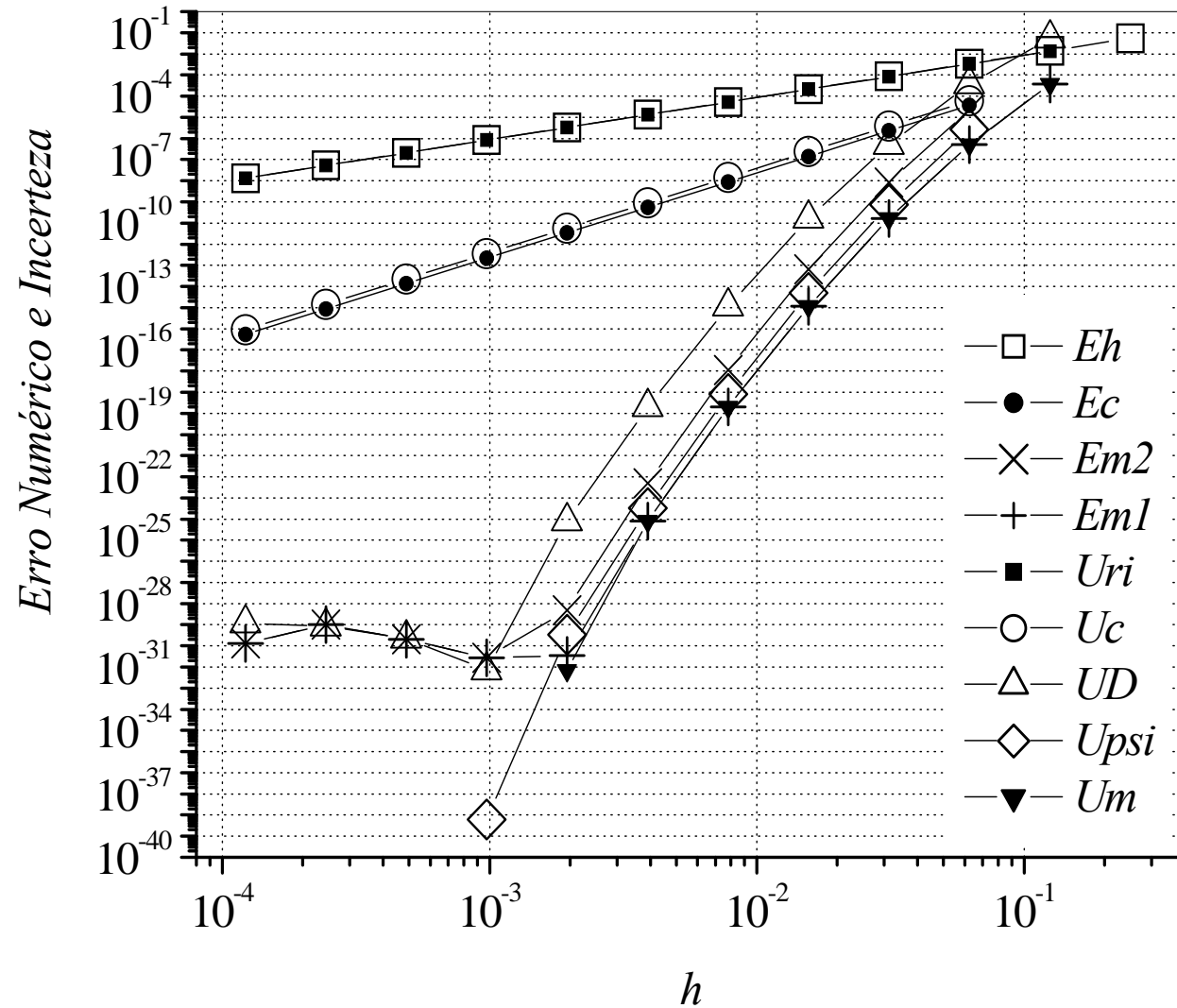
Verificação e validação de soluções numéricas

- Verificar códigos e soluções numéricas
- Validar soluções numéricas
- Avaliar e desenvolver estimadores de erros numéricos
- Gerar resultados numéricos de referência
- Incerteza dos dados da simulação

Tipos de erros



V&V: estimador de erro para MER



Poisson 1D, DF, T(3/4) nodal, CDS-2

Benchmark da cavidade 2D

Ref.	Re = 100			Re = 400			Re = 1000		
	$-\Psi_{min}$	x	y	$-\Psi_{min}$	x	y	$-\Psi_{min}$	x	y
2	0.1022				0.1017				
3	0.1034						0.114		
4							0.1193		
5	0.103423	0.6172	0.7344	0.113909	0.5547	0.6055	0.117929	0.5313	0.5625
6	0.10330	0.61667	0.74167	0.11399	0.55714	0.60714	0.11894	0.52857	0.56429
7	0.1034	0.6188	0.7375	0.1136	0.5563	0.6000	0.1173	0.5438	0.5625
9	0.103506	0.6094	0.7344				0.119004	0.5313	0.5625
10	0.1030	0.6196	0.7373	0.1121	0.5608	0.6078	0.1178	0.5333	0.5647
11	0.103519	0.6157	0.7378				0.118821	0.5308	0.5659
12							0.1157		
13	0.10330			0.11389			0.118930		
14							0.1189366	0.5308	0.5652
15	0.103511	0.617187	0.734375				0.118806	0.531250	0.562500
17	0.103	0.6125	0.7375	0.113	0.5500	0.6125	0.117	0.5250	0.5625
16							0.118942	0.5300	0.5650
18							0.11892	0.53125	0.56543
CFD2009	0.1035212	0.61621	0.73730	0.11398887	0.55371	0.60547	0.118936708	0.53125	0.56543
CFD2016							0.1189366104	0.5307901165	0.56524055

Re = 10, Ref. 2: $-\Psi_{min} = 0.0999$; Present: $-\Psi_{min} = 0.1001132$

Otimização de métodos numéricos

Comparisons of uc with other authors for the problem 4.

Type II-2D variable, with 2D polynomial interpolation, $p = 1$.

Reference	uc	U	p_U
[23]	-0.06080		
[24]	-0.0620561		
[6]	-0.0620		
[25]	-0.06205		
[7]	-0.0620561	$\pm 6E-07$	2.07
Present	-0.06205613519461	$-3E-14$	9.41

Agradecimentos (financiadores):

AEB

PGMec

CNPq

PPGMNE

CAPES

DEMEC

FA

UFPR

**Para interessados em
IC, TG, M, D, PD, colaborações:**

www.cfd.ufpr.br

www.foguete.ufpr.br

chmcfd@gmail.com